



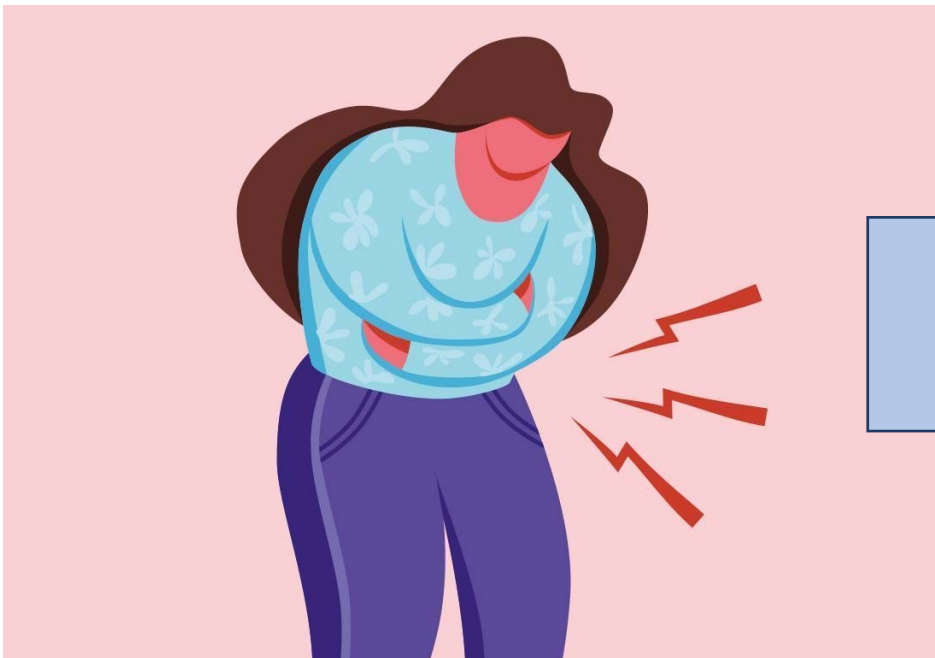
Microbiote d'organe et troubles fonctionnels digestifs au cours des douleurs pelvi-périnéales chroniques chez la femme



Claire Cardaillac, Philippe Aubert, Camille Trottier, Matheus Moreau, Charlene Brochard, Justine Marchix, Michel Neunlist



Les douleurs pelvi-périnéales chroniques (DPPC) : une symptomatologie fréquente aux lourdes conséquences



Enjeu majeur de
Santé Publique

Douleurs Pelvi-périnéales Chroniques (DPPC) :
6 à 27% des femmes

Ahangari, Pain Physician, 2014

Impact sévère

↓ Qualité de vie
↑ Anxiété
↑ Dépression

Coûts élevés

20.898 \$ / an / femmes
6.5 milliards \$ / an

Armour, Plos One, 2019

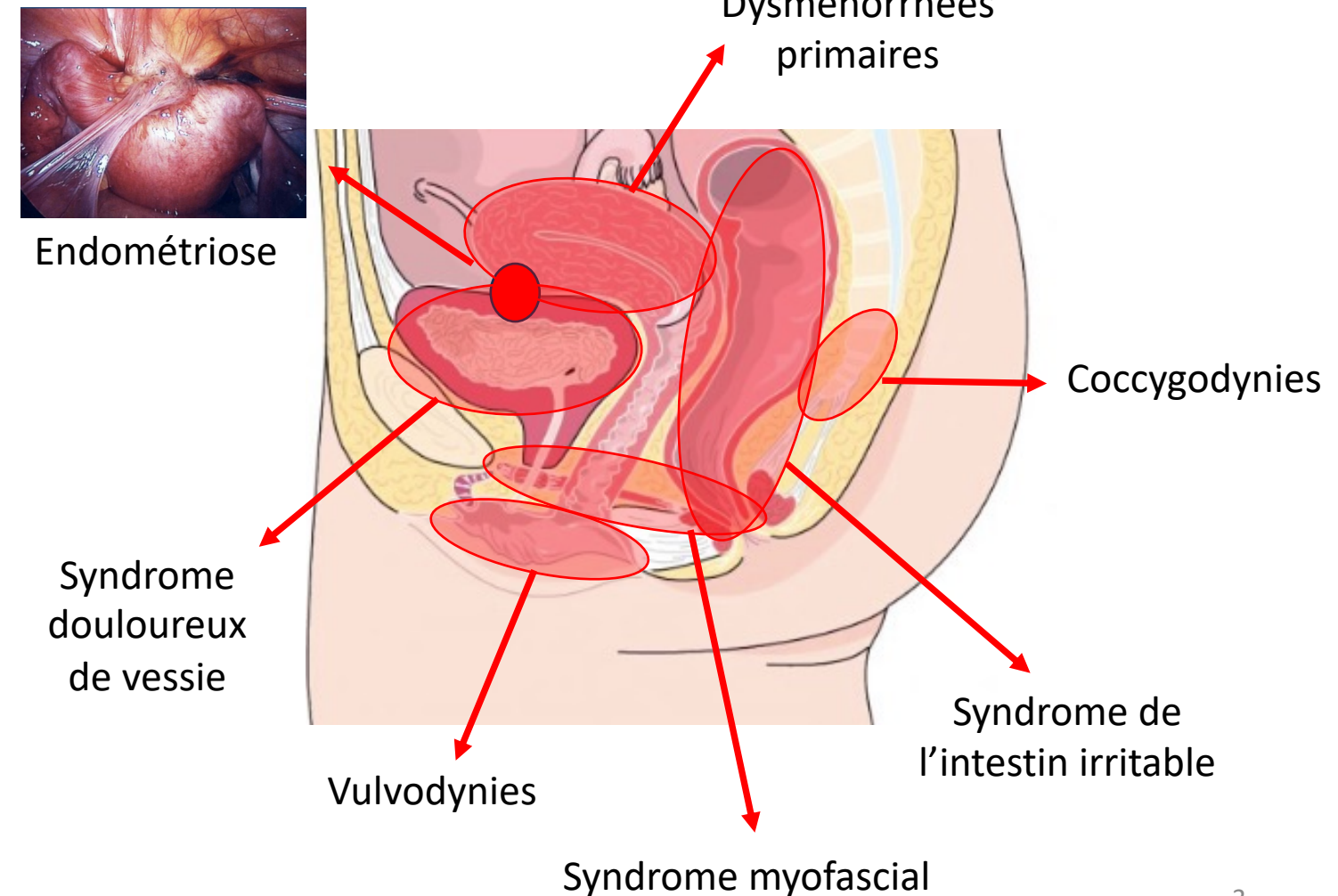
Les causes de DPPC sont nombreuses et peuvent entraîner des dysfonctions communes

Lésions identifiables et/ou syndromes caractérisés par une hypersensibilité d'organe

Dysfonctions communes (urinaire, sexuelle, digestive)

Les associations entre les différents syndromes sont fréquentes

Chevauchement des zones douloureuses



Une partie des femmes DPPC présentent des douleurs particulièrement complexes les SENSIBILISEES



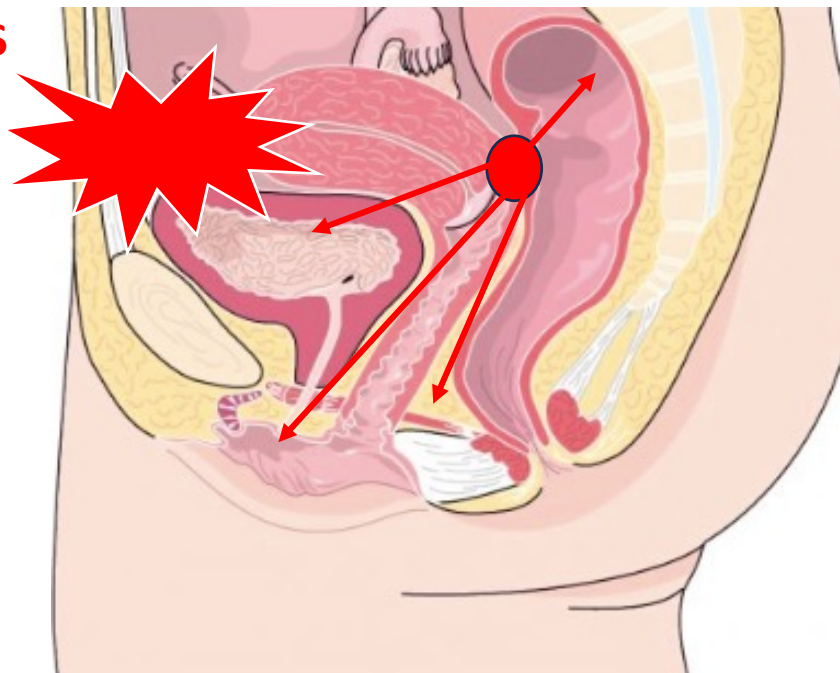
Femmes DPPC

NON SENSIBILISEES

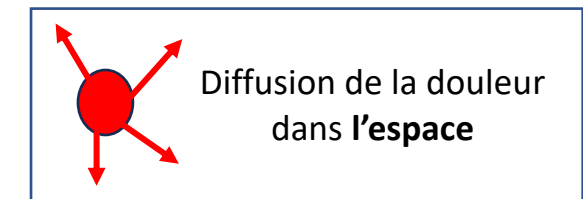
SENSIBILISEES

Prise en charge thérapeutique
pluridisciplinaire recommandée

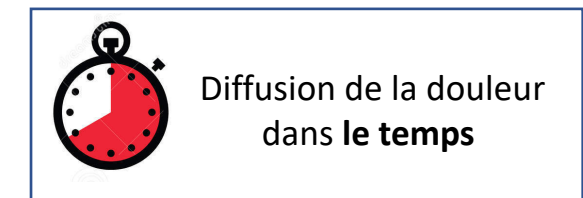
Diagnostic souvent difficile
en entraînant une errance médicale



Abaissement des seuils de sensibilité

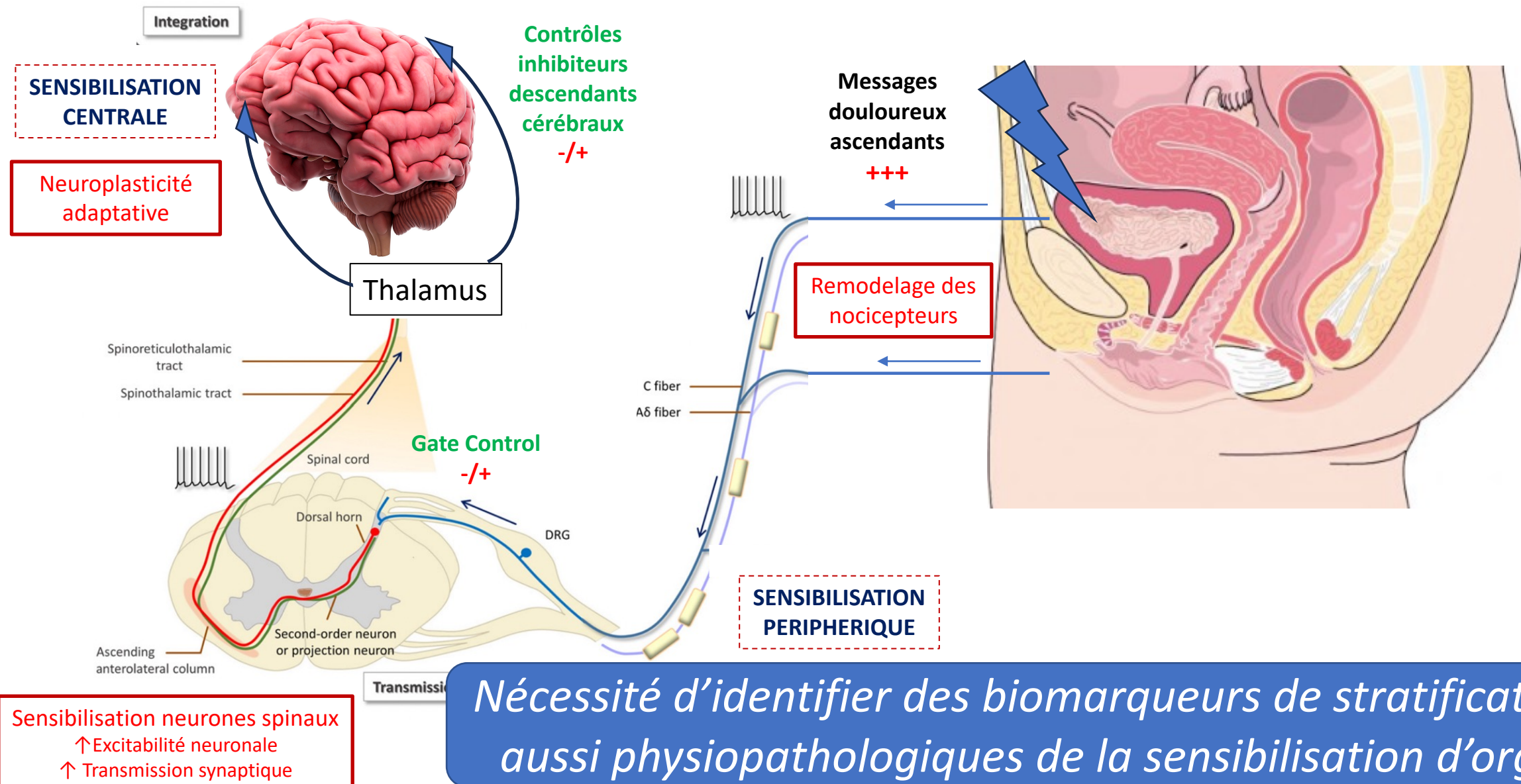


Diffusion de la douleur dans l'espace

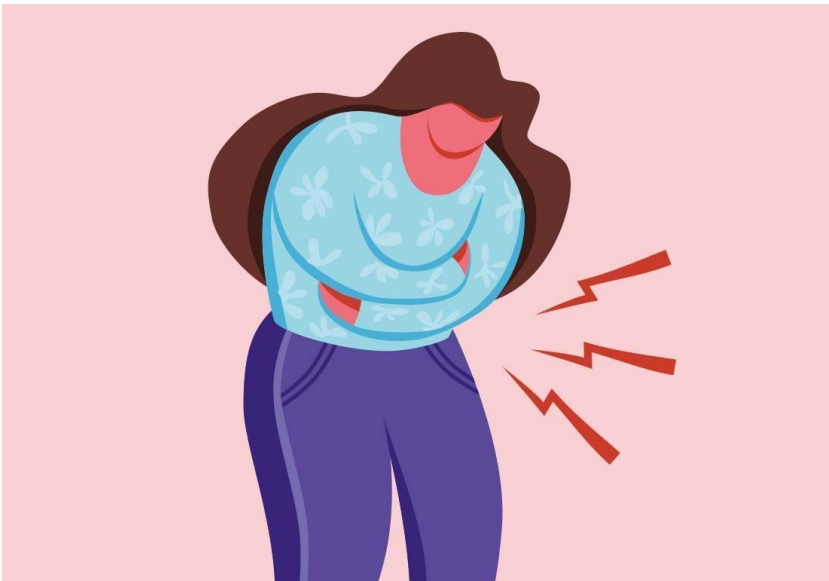


Diffusion de la douleur dans le temps

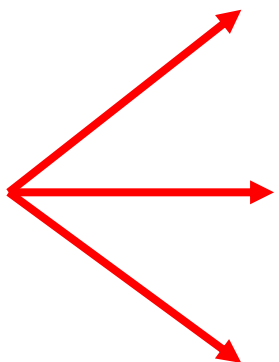
Les douleurs pelviennes chroniques (DPPC) : transmission du message douloureux



Les troubles du transit sont fréquents chez les femmes DPPC



Troubles du transit (TT) fréquents
(20,9 à 25%) chez femmes DPPC



Associés à une réduction de la qualité de vie

Peu étudiés en dehors du syndrome de l'intestin irritable

Manque de compréhension des mécanismes physiopathologiques impliqués

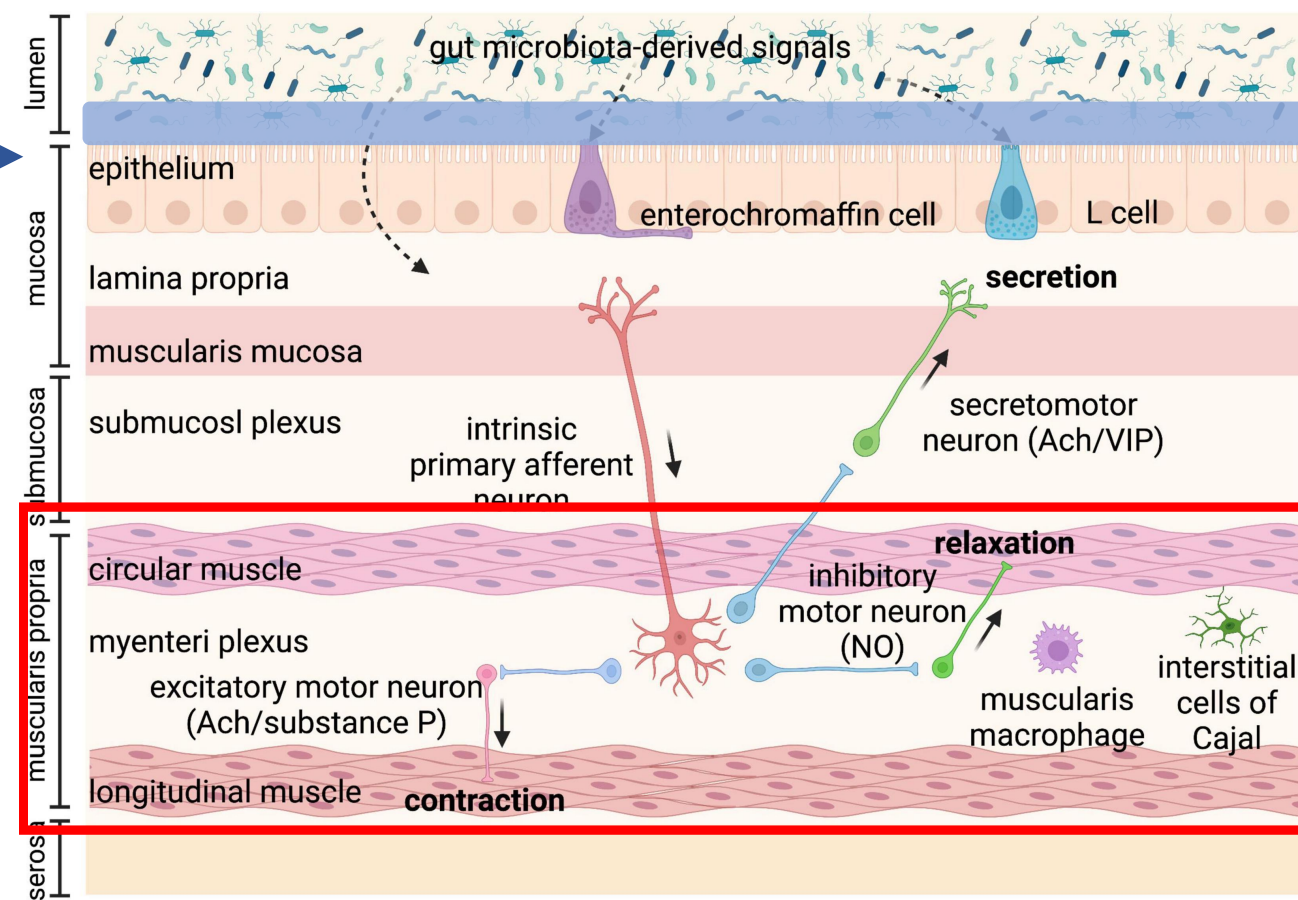
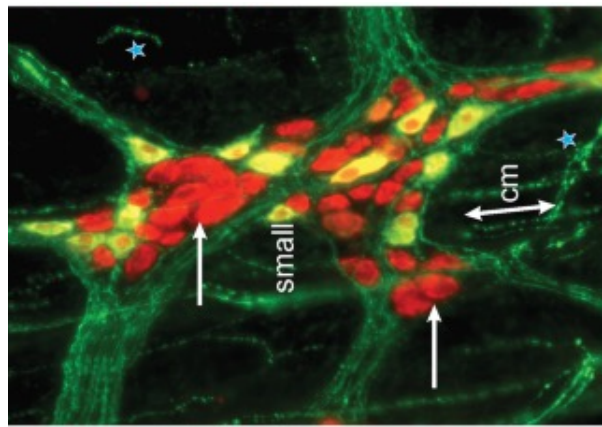
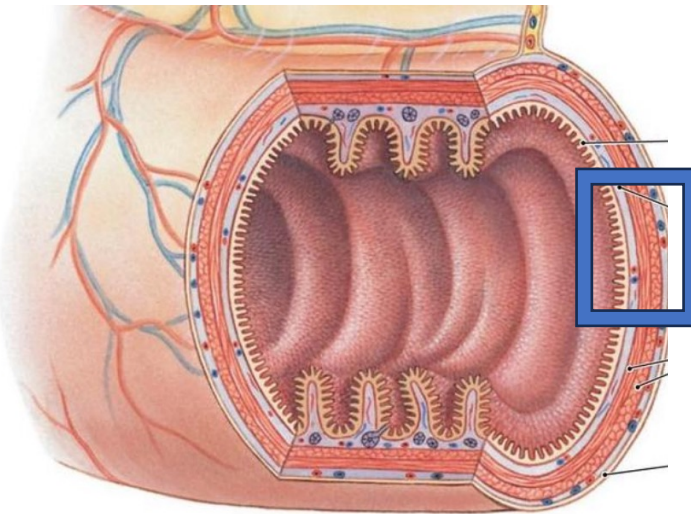
Type 1		Selles dures et morcelées (en billes) d'évacuation difficile
Type 2		Selles dures, moulées en saucisse et bosseées
Type 3		Selles dures, moulées en saucisse craquelée
Type 4		Selles molles mais moulées, en saucisse (ou serpentin)
Type 5		Selles molles morcelées, à bords nets et d'évacuation facile
Type 6		Selles molles morcelées, à bords déchiquetés
Type 7		Selles totalement liquides

Zondervan et al., AJOG 2001

Zondervan et al., BJOG 1999

Chang et al., Aliment Pharmacol Ther 2004

Les principaux acteurs de la motricité intestinale

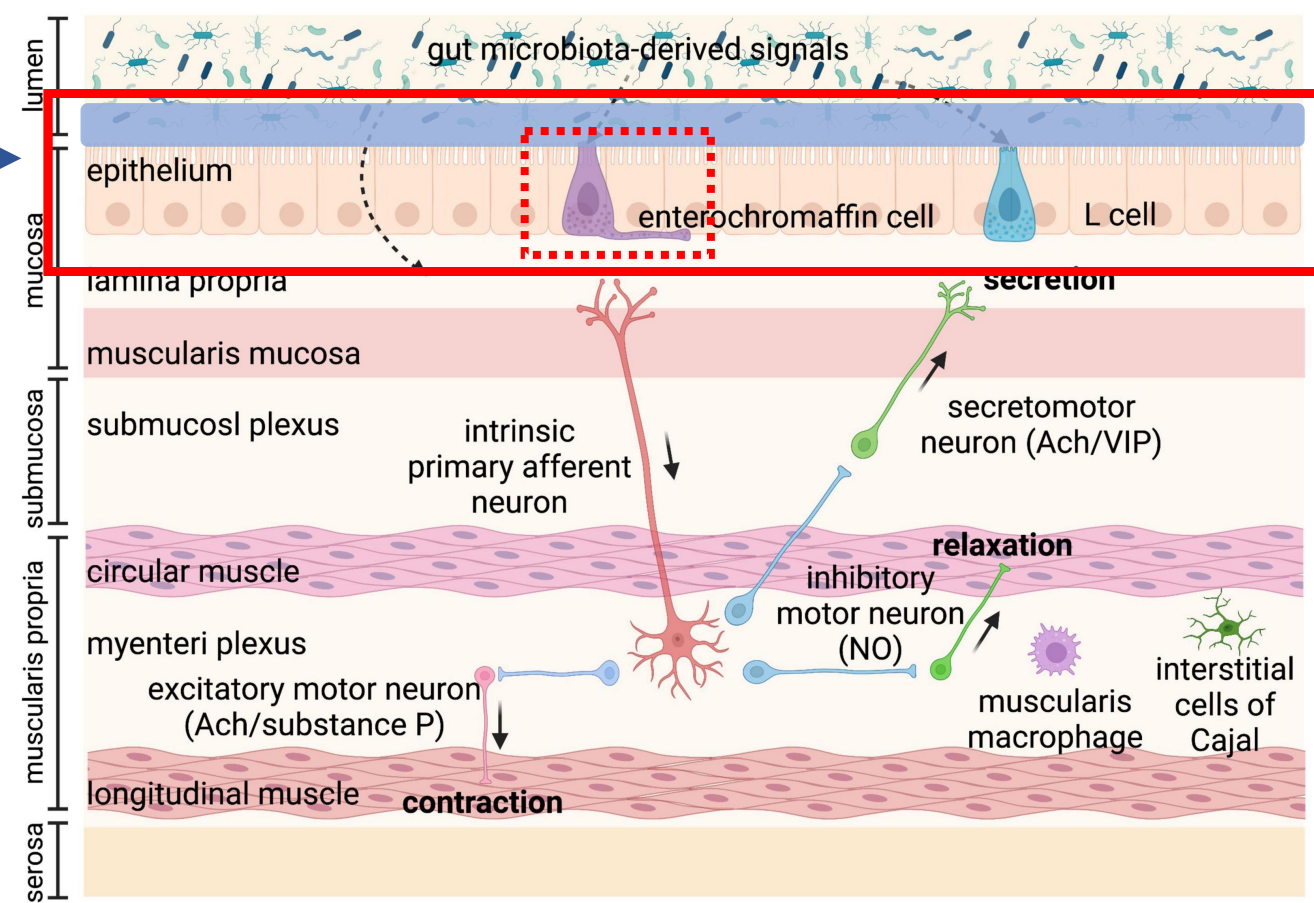
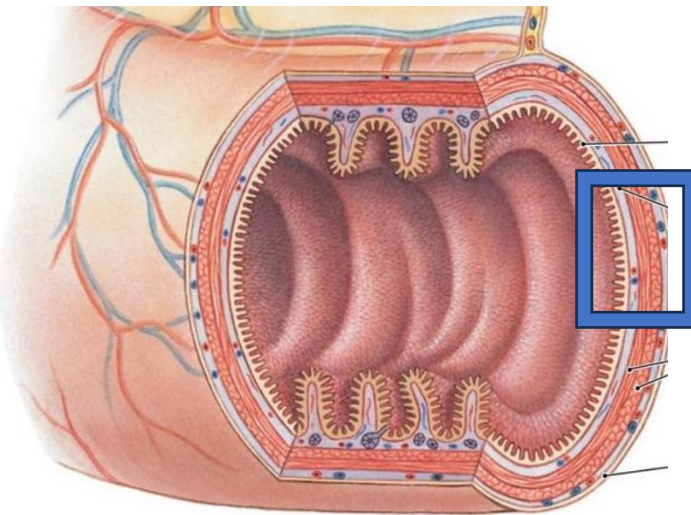


SYSTEME NERVEUX ENTERIQUE (SNE)

Plexus MYENTERIQUE

SNE : 200 millions de neurones

Les principaux acteurs de la motricité intestinale



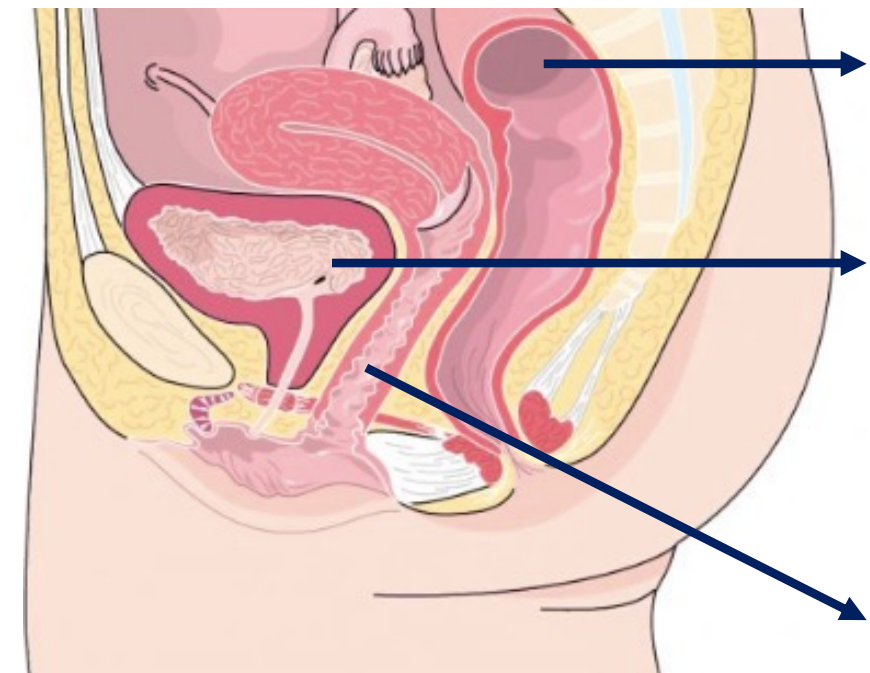
BARRIERE
EPITHELIALE
INTESTINALE (BEI)

SYSTEME NERVEUX
ENTERIQUE (SNE)

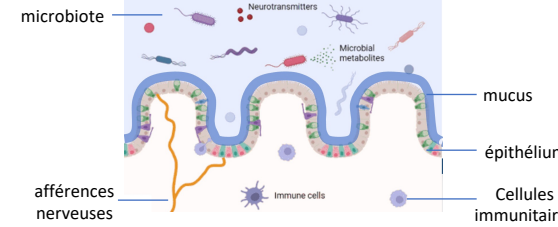
Plexus MYENTERIQUE

Nécessité de caractériser mécanismes physiopathologiques responsables des atteintes du SNE et de la BEI au cours des DPPC ?

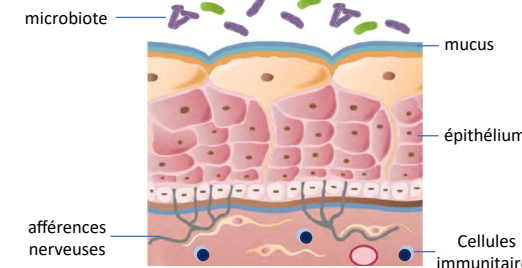
Les microbiotes d'organes vivent en interaction étroite avec leur hôte



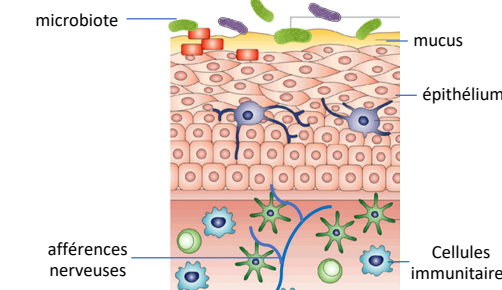
Le MICROBIOTE INTESTINAL



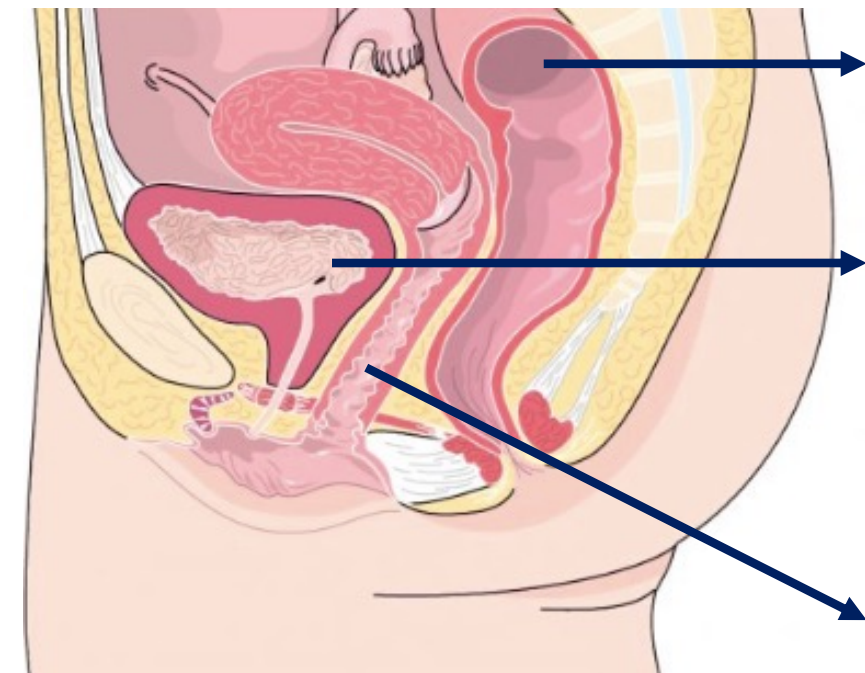
Le MICROBIOTE URINAIRE



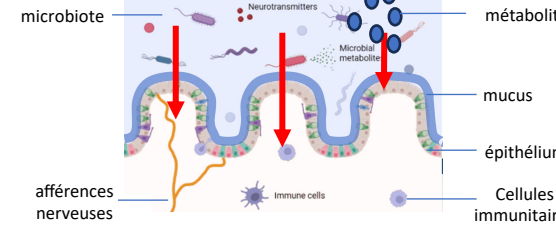
Le MICROBIOTE VAGINAL



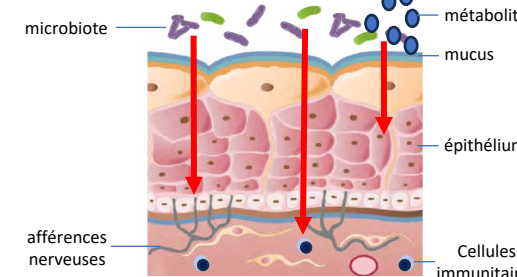
Les microbiotes d'organes vivent en interaction étroite avec leur hôte



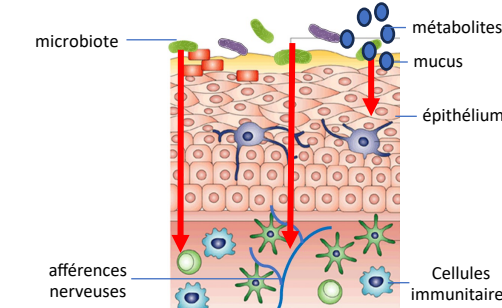
Le MICROBIOTE INTESTINAL



Le MICROBIOTE URINAIRE



Le MICROBIOTE VAGINAL



PHYSIOLOGIE

↑ Diversité
Dominé par les **BACTEROIDES** et **FIRMICUTES**

↓ Diversité
Dominé par les **LACTOBACILLUS**

↓ Diversité
Dominé par les **LACTOBACILLUS**

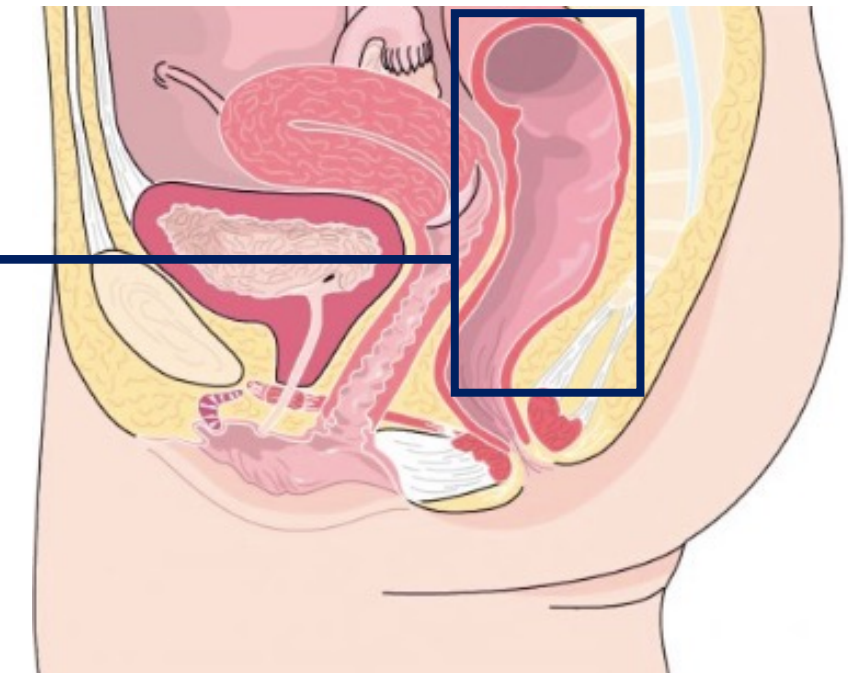
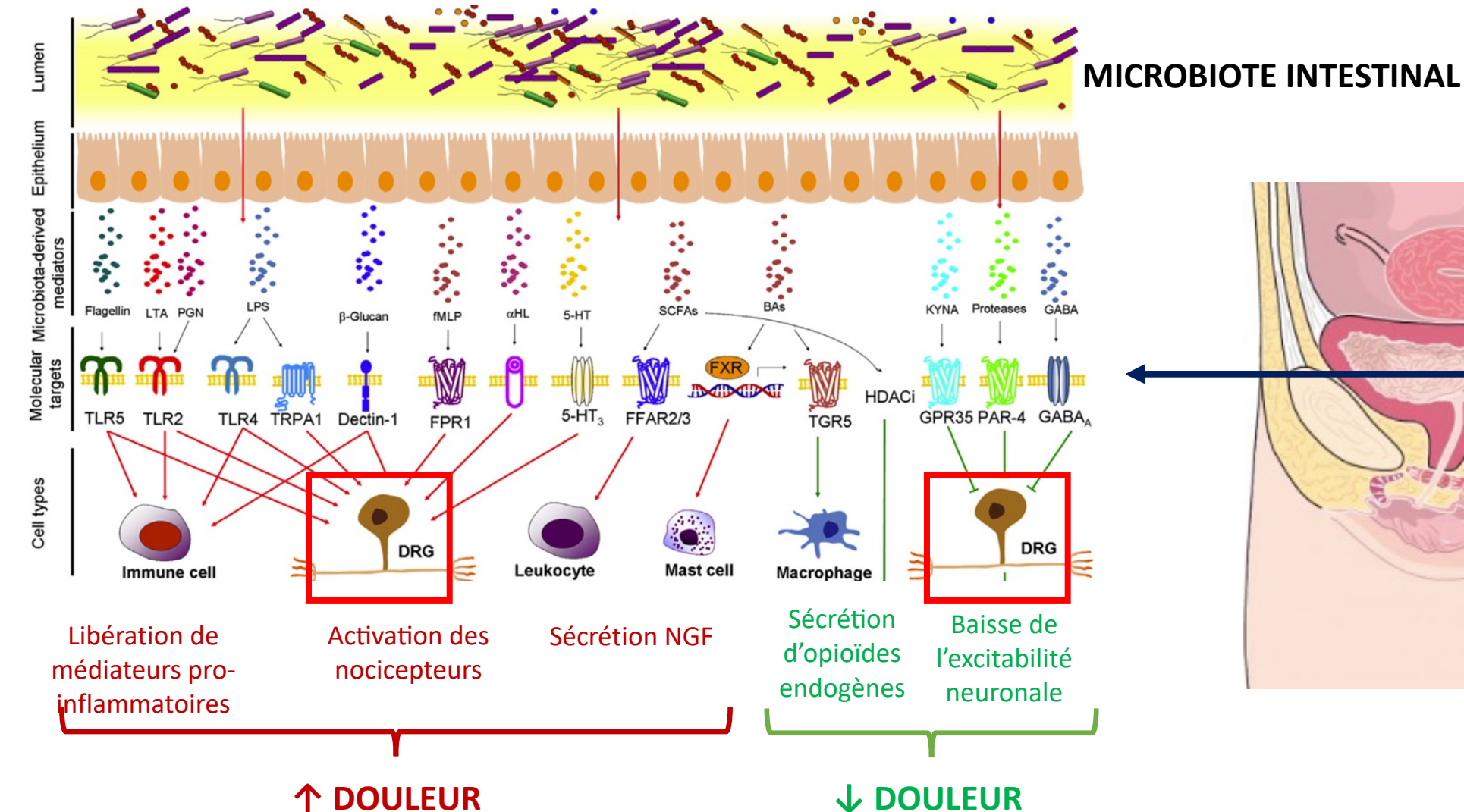
PATHOLOGIE

Syndrome intestin irritable
↓ Diversité
↓ Firmicutes ↑ Bacteroidetes
↓ Bifidobacterium ↑ Bacteroides
↑ Escherichia coli, Enterobacterium

Syndrome douloureux de vessie
↓ Lactobacillus

Vulvodynies et Dysménorrhées
↓ Lactobacillus
↑ Streptococcus et Gardnerella

Les microbiotes d'organes pelviens : un rôle dans la sensibilisation ?



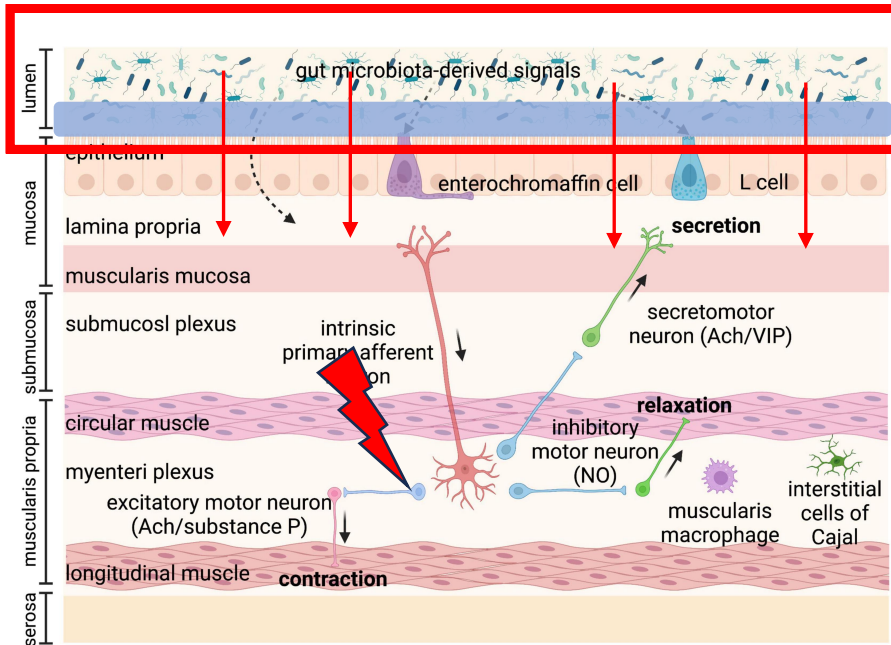
Guo et al., Br J Anaesth, 2019

Existe-t-il des signatures des microbiotes pelviens associées à la sensibilisation d'organe ?

Le Syndrome de l'Intestin Irritable (SII), miroir des DPPC avec troubles du transit ?

Syndrome de l'Intestin Irritable

Altération du microbiote intestinal

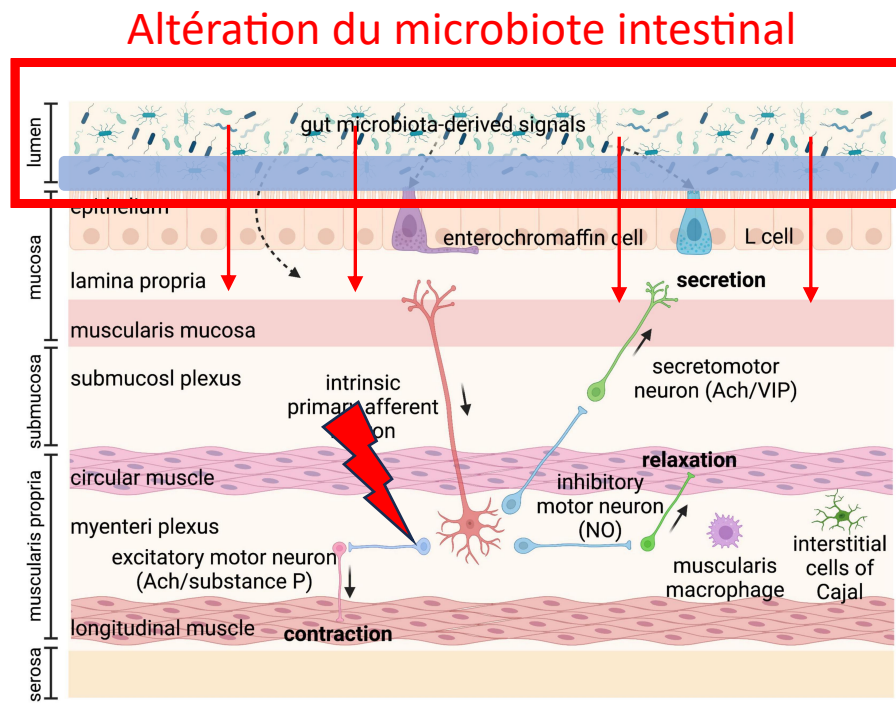


Altération
perméabilité /
réparation

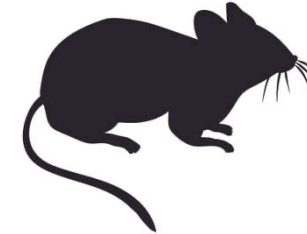
Remodelage
du SNE

Le microbiote intestinal a un rôle clef dans les troubles associés au SII

Syndrome de l'Intestin Irritable



Transfert microbiote ou surnageant fécal



Reproduction des troubles des patients

- ↑ douleurs viscérales
- ↑ troubles du transit
- ↑ anxiété

Altération perméabilité / réparation
Remodelage du SNE

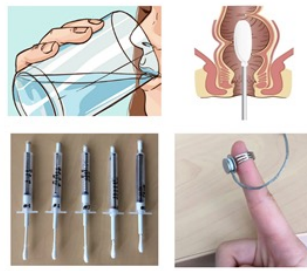
Existe-t-il des signatures fonctionnelles du microbiote intestinal responsables des troubles digestifs dans les DPPC ?

De Palma G, et al, Sci. Transl. Med, 2017
Annahazi A et al, Am J Gastroenterol, 2013

Objectifs généraux

- a) Caractériser les troubles digestifs (TD) et de la sensibilisation dans une population de patientes DPPC
- b) Identifier le rôle causal potentiel du microbiote intestinal dans les TD observés chez ces patientes
- c) Identifier des signatures métagénomiques des microbiotes pelviens associées aux sensibilisations d'organe

Les troubles du transit étaient prépondérants dans la cohorte de femmes DPPC



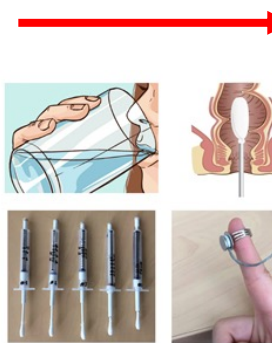
**Cohorte Femmes DPPC
Phénotypées (n=60; clinique,
convergence PP...)**

Explorations fonctionnelles

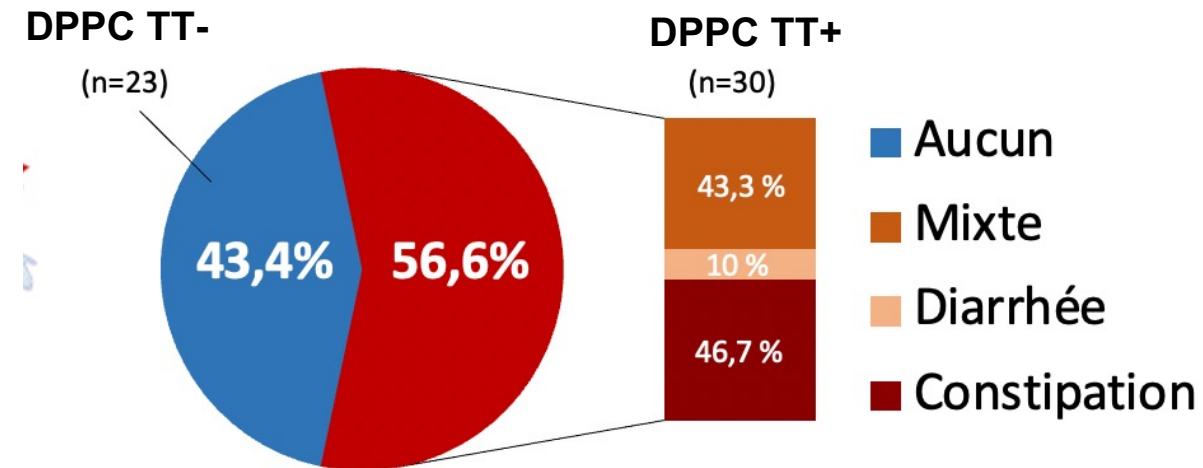
Les troubles du transit étaient prépondérants dans la cohorte de femmes DPPC



Cohorte Femmes DPPC
Phénotypées (n=60; clinique,
convergence PP...)



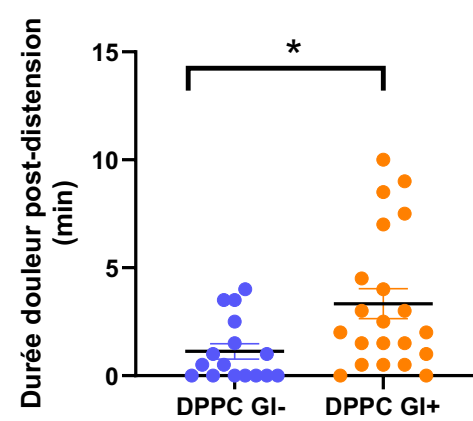
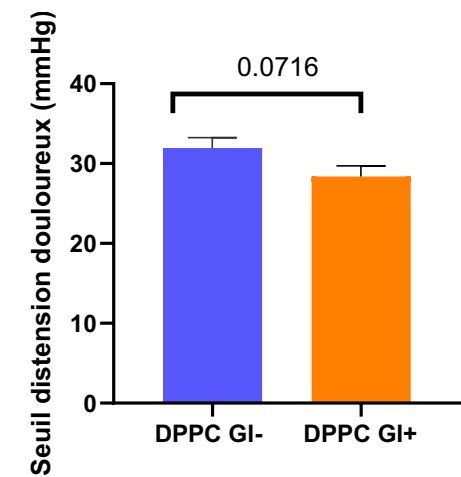
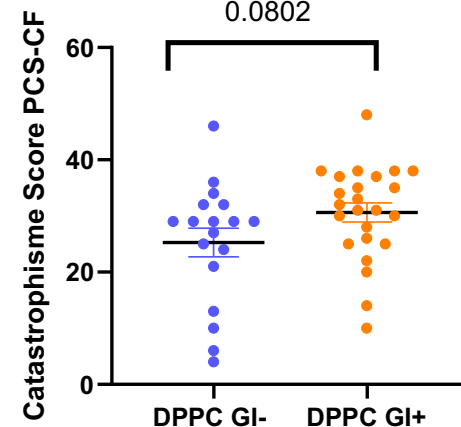
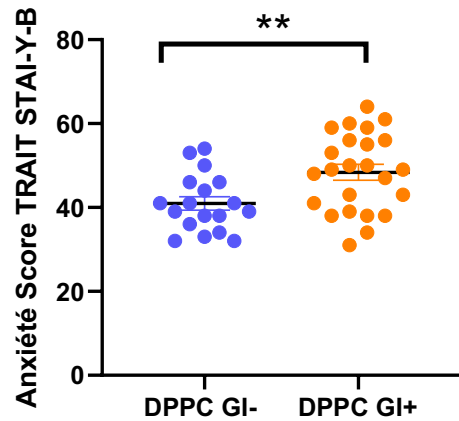
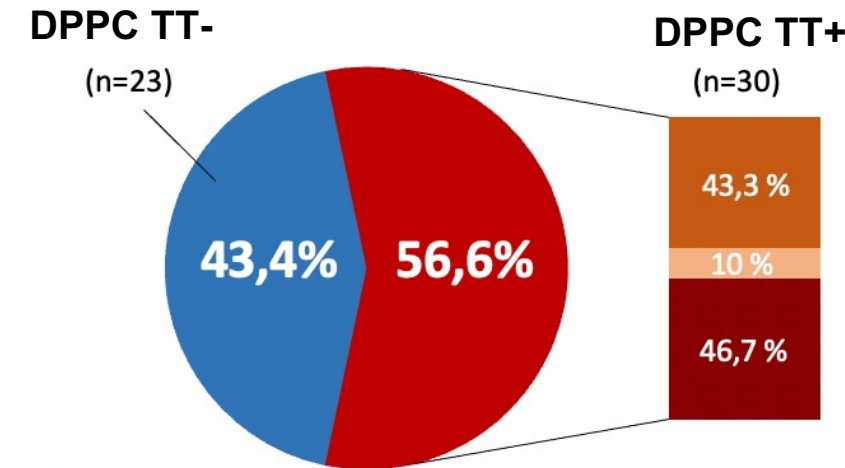
Explorations fonctionnelles



Les troubles du transit étaient prépondérants dans la cohorte de femmes DPPC



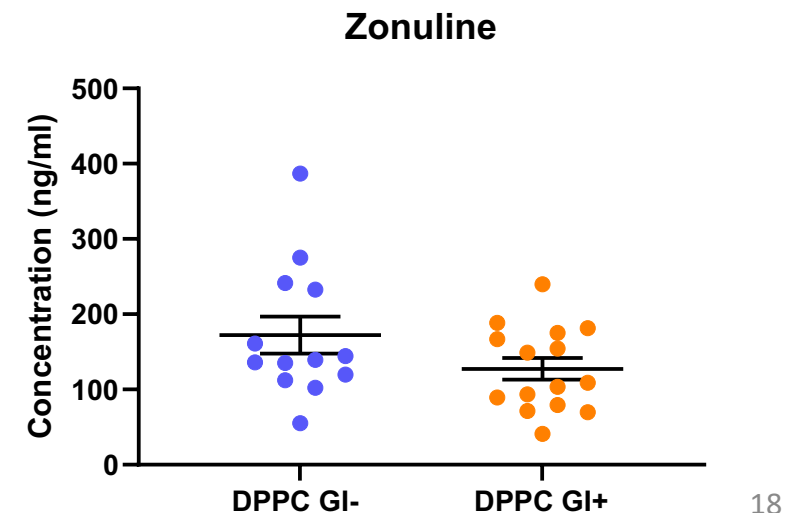
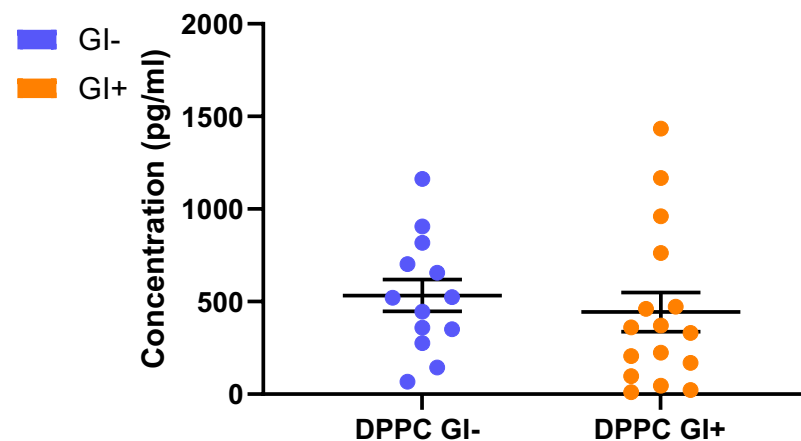
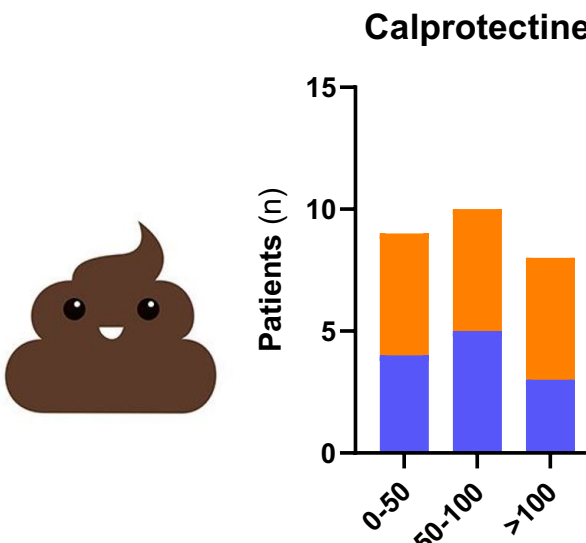
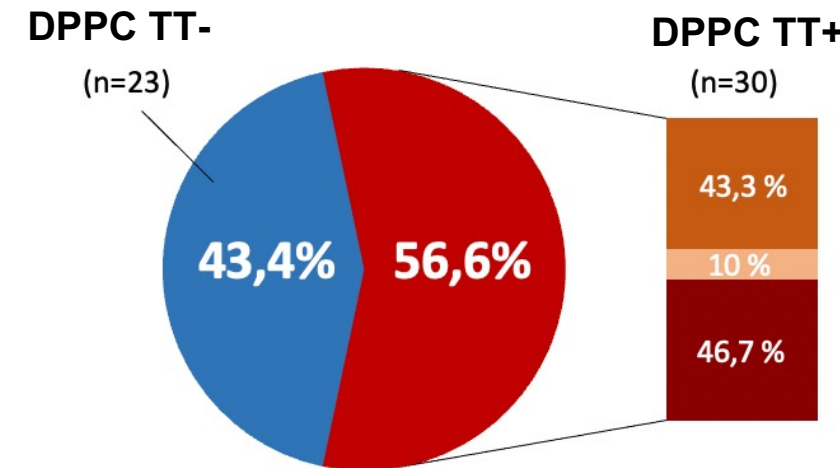
Cohorte Femmes DPPC
phénotypées



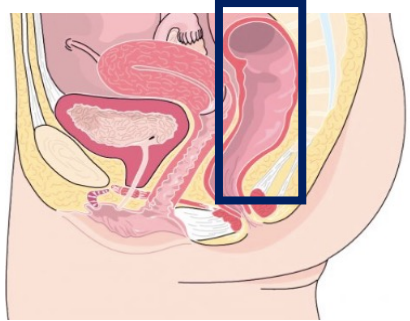
Il n'a pas été mis en évidence de modification de marqueurs fécaux 'd'inflammation digestive' associée aux troubles du transit



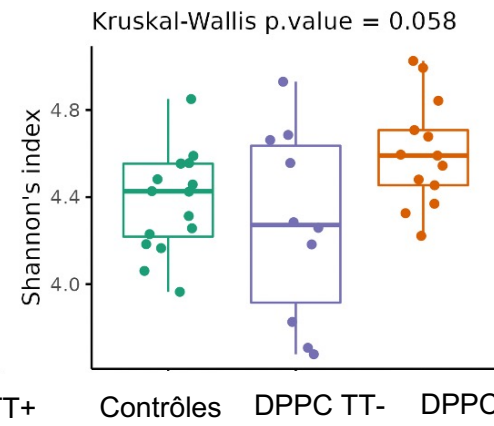
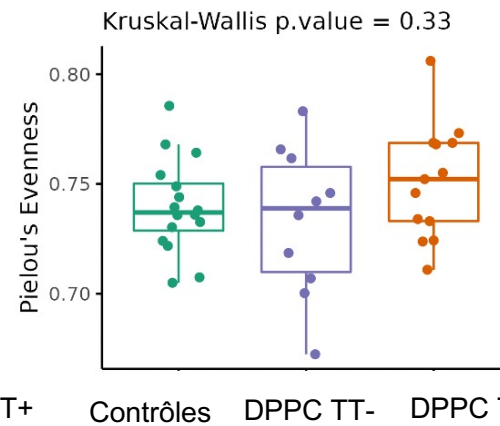
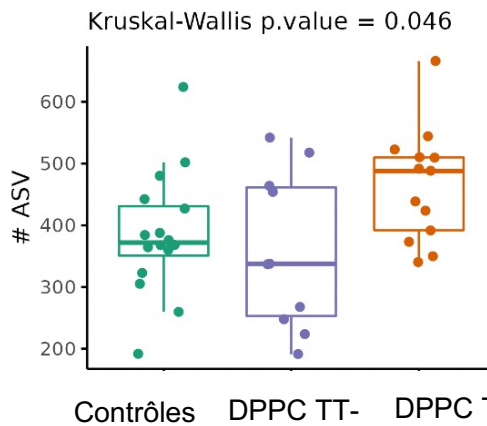
Cohorte Femmes DPPC phénotypées



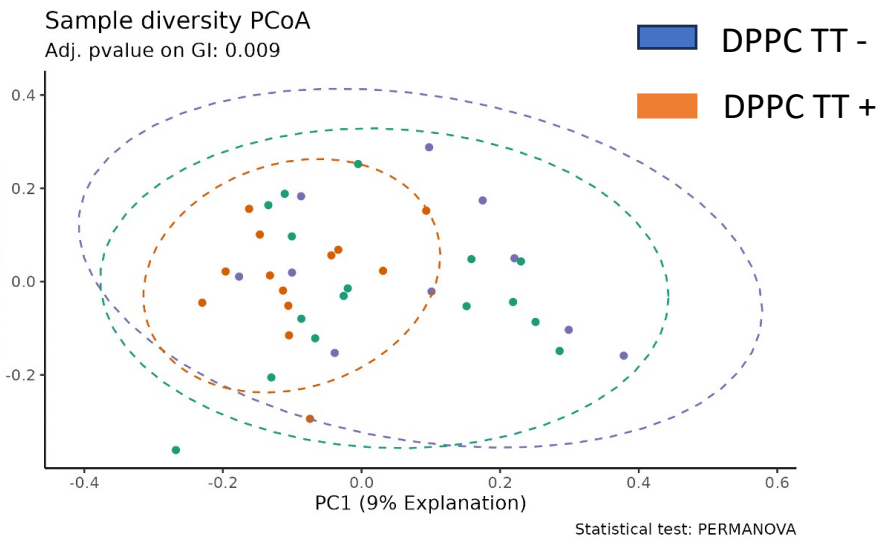
Microbiote INTESTINAL des femmes DPPC TT + : tendance à $\uparrow \alpha$ diversité, β diversité différente



α diversité



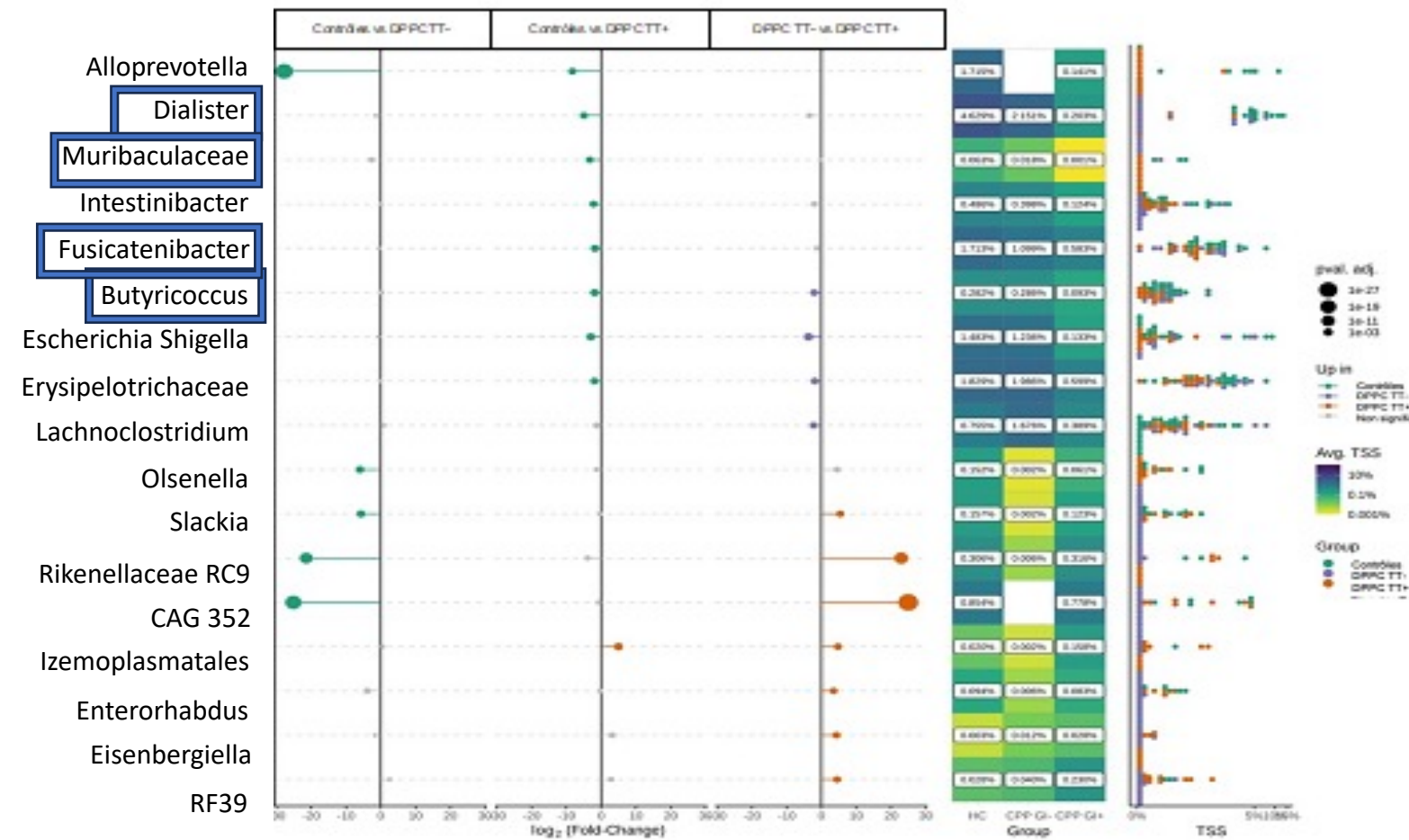
β diversité



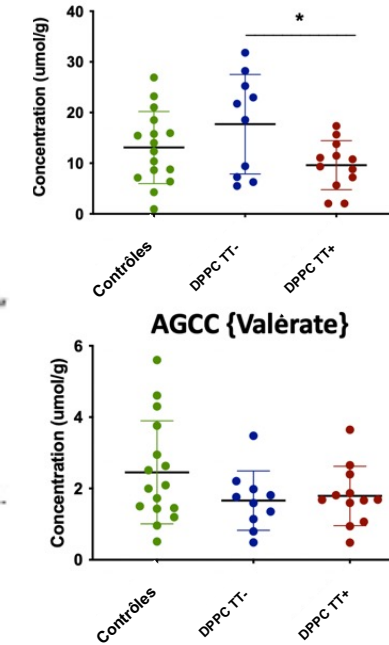
Une réduction de bactéries butyrogènes associée à des modifications de la concentration fécale d'AGCC a été identifiée chez les DPPC TT+

Abondance différentielle

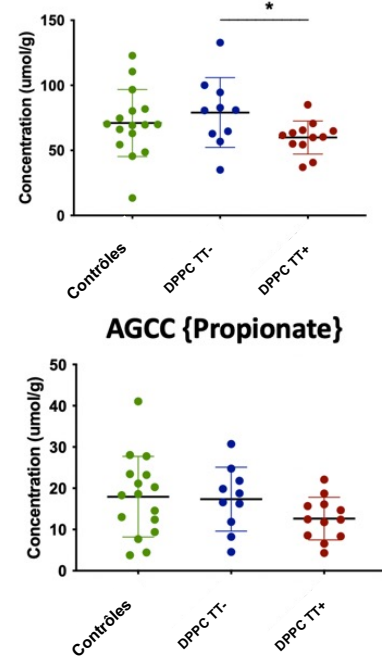
ASV Bactériens



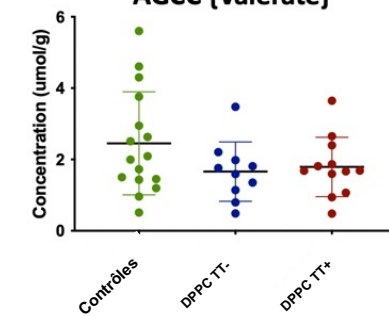
AGCC {Butyrate}



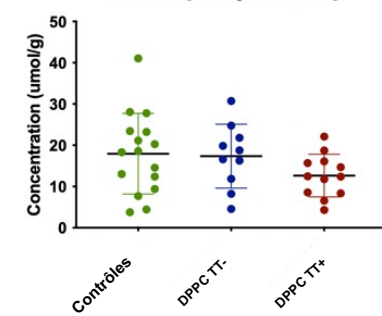
AGCC {Acétate}



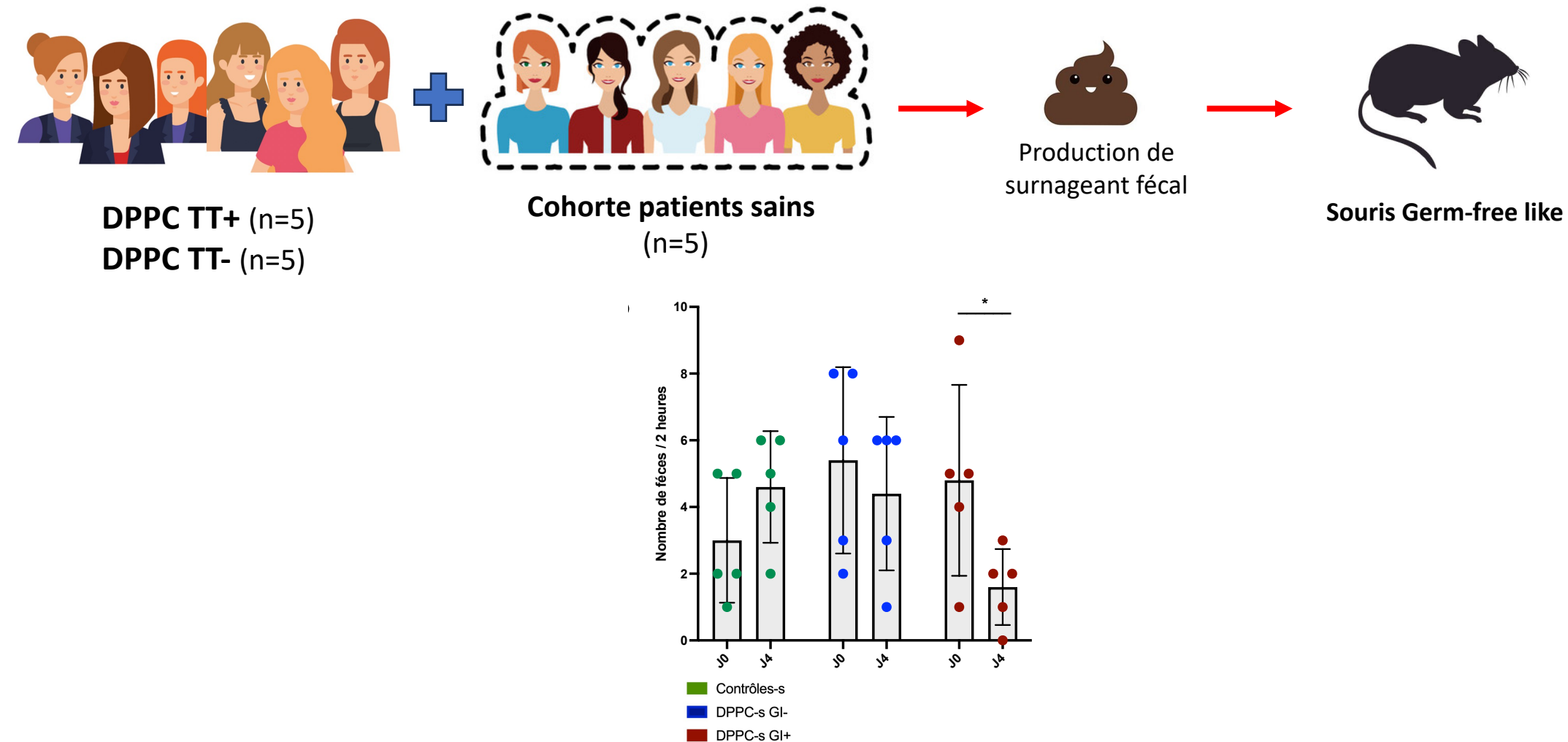
AGCC {Valératé}



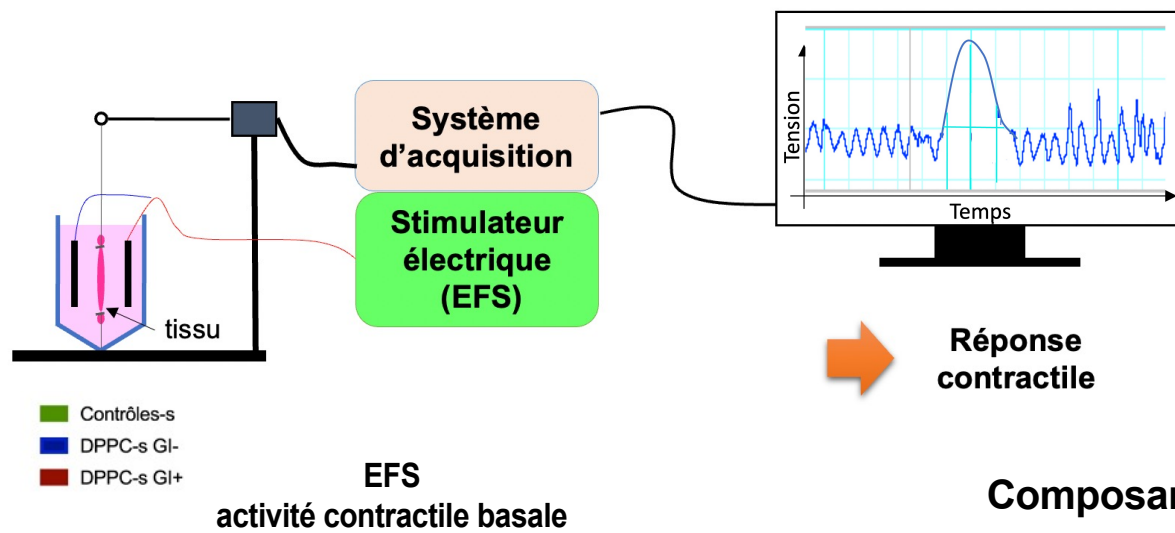
AGCC {Propionate}



Le transfert de surnageant fécal de DPPC TT+ induit un ralentissement du transit chez les souris

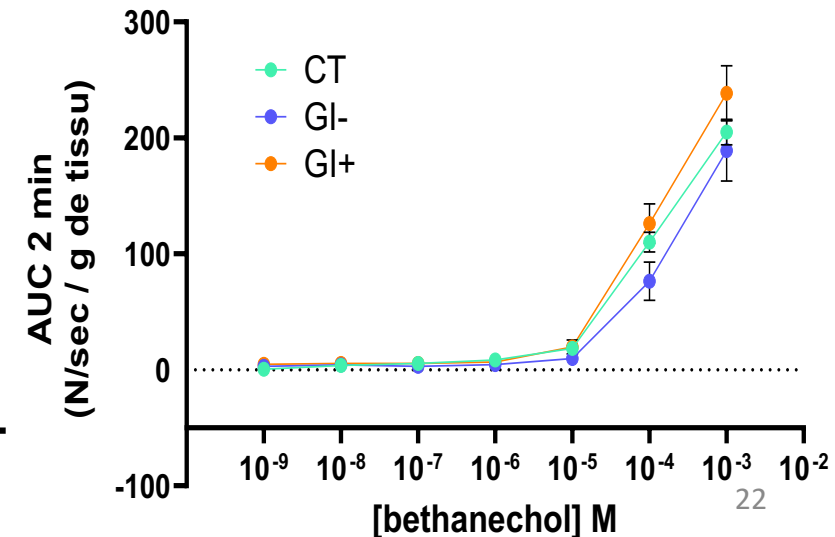
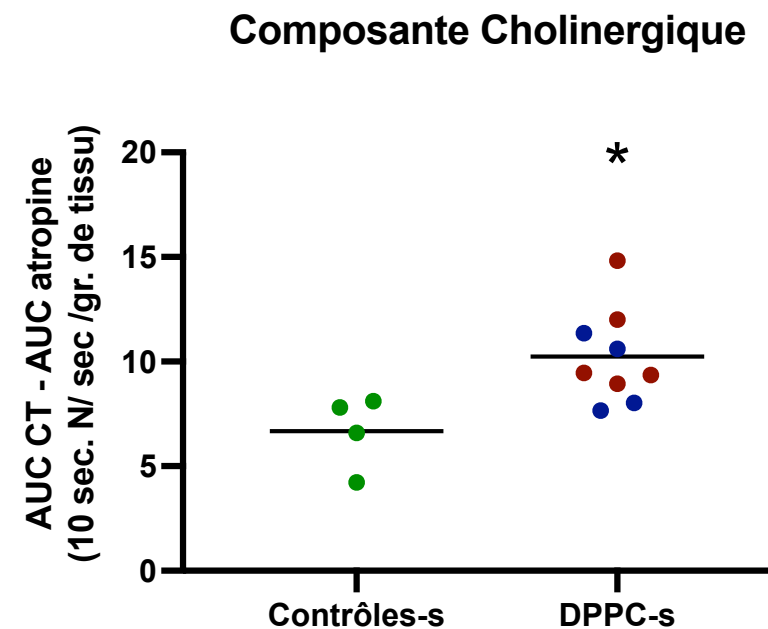
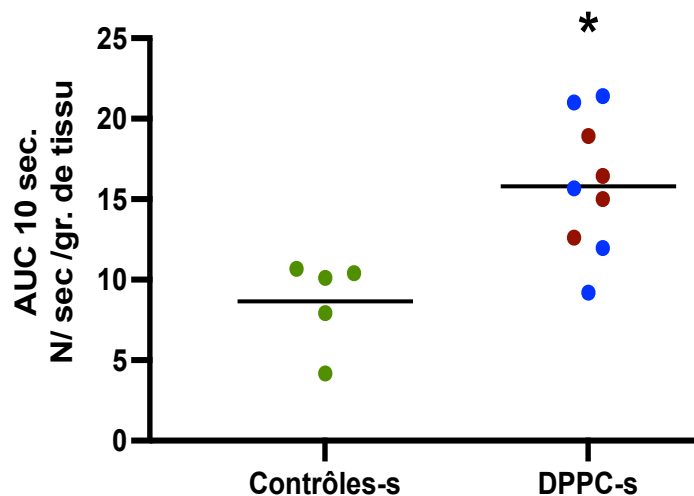
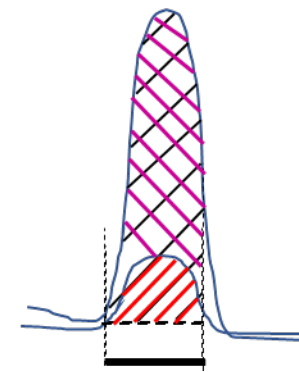


La transmission neuromusculaire est augmentée chez les ‘souris DPPC’ via une composante cholinergique indépendamment de la présence de TT

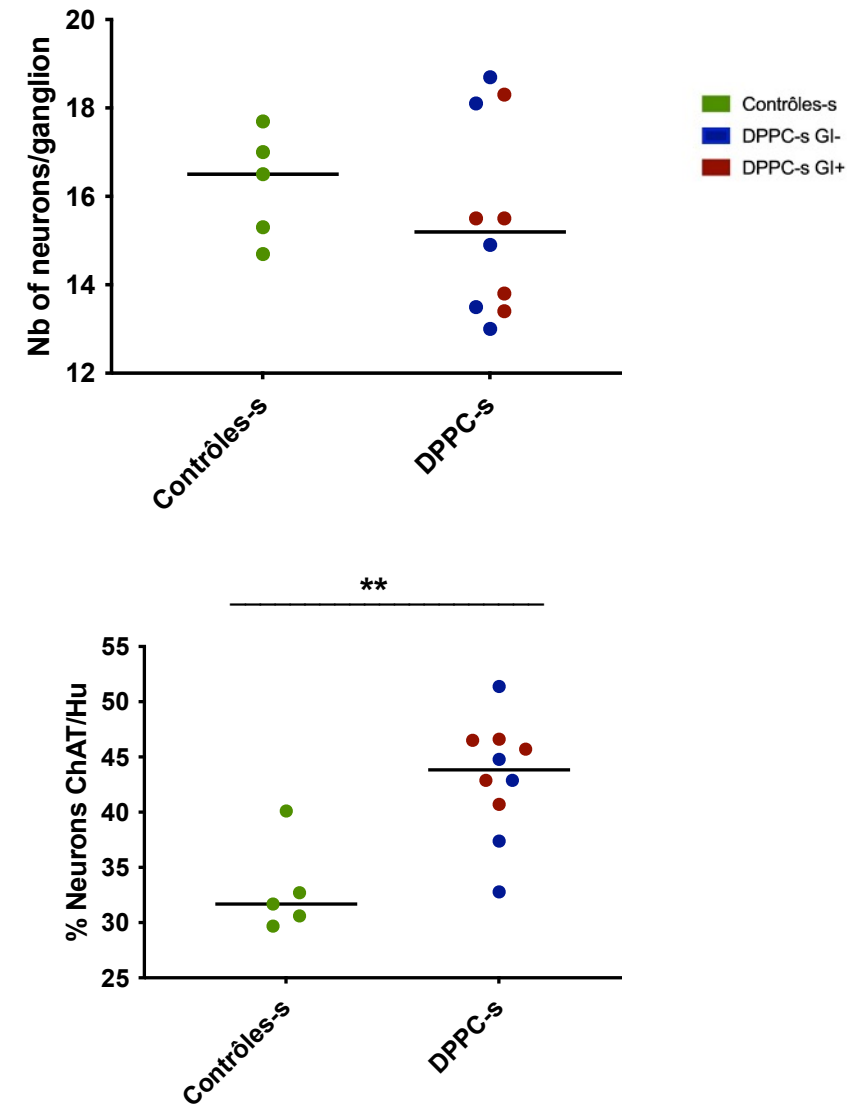
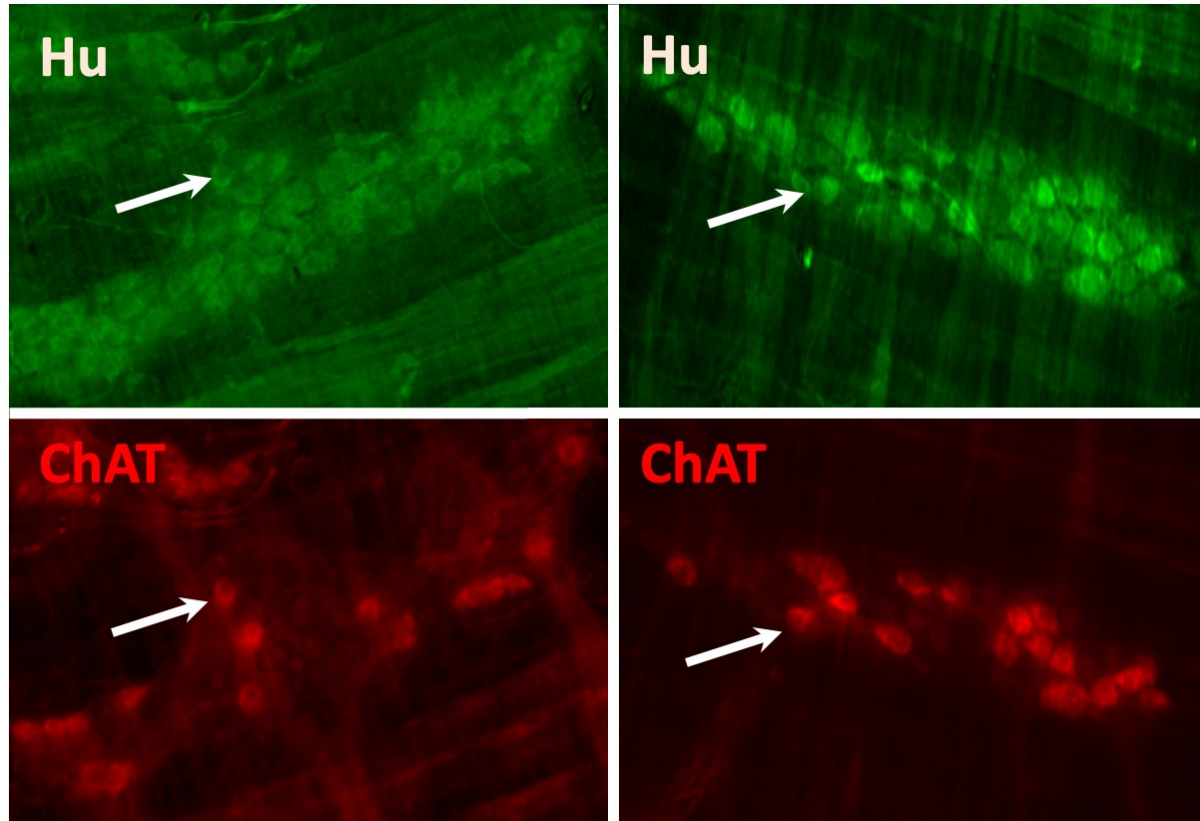


Composante Cholinergique

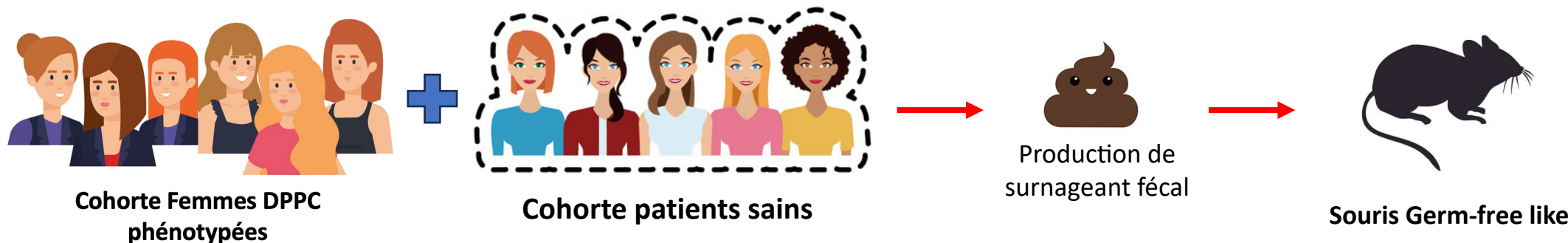
AUC condition basale - AUC atropine



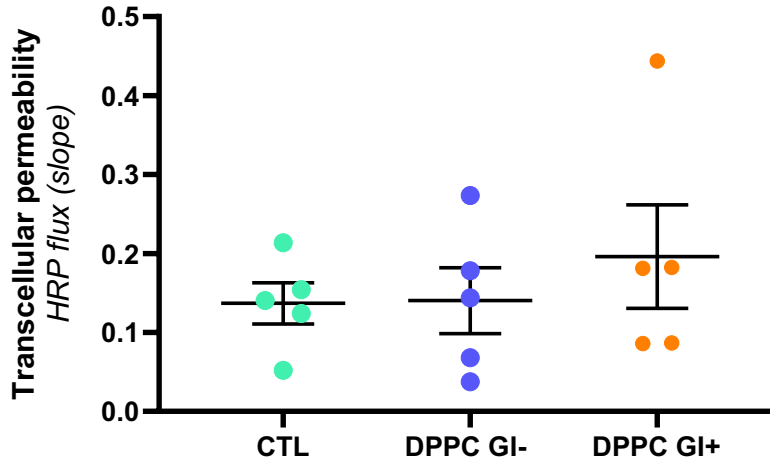
La proportion de neurones cholinergiques est augmentée chez les ‘souris DPPC’ indépendamment de la présence de TT



Le transfert de surnageant fécal de DPPC TT+ induit-il un remodelage de la BEI ?

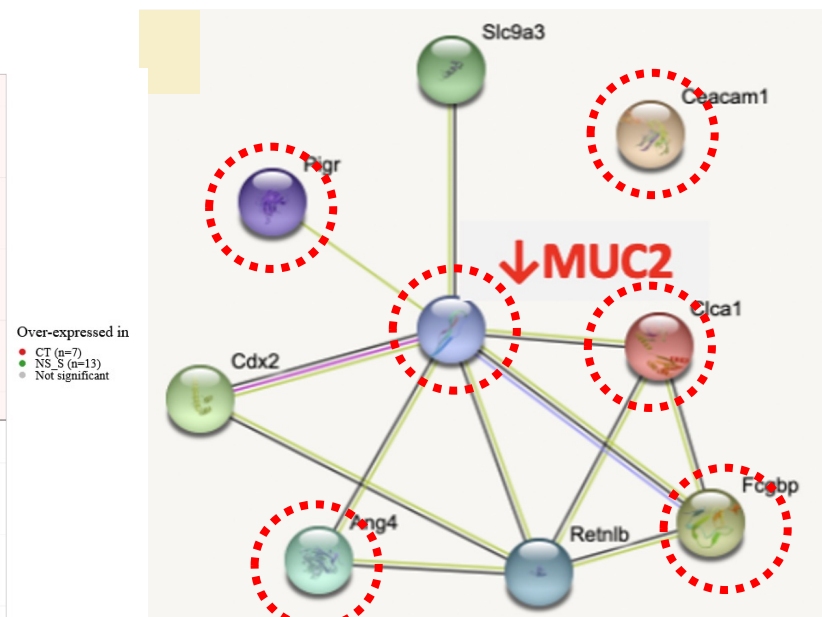
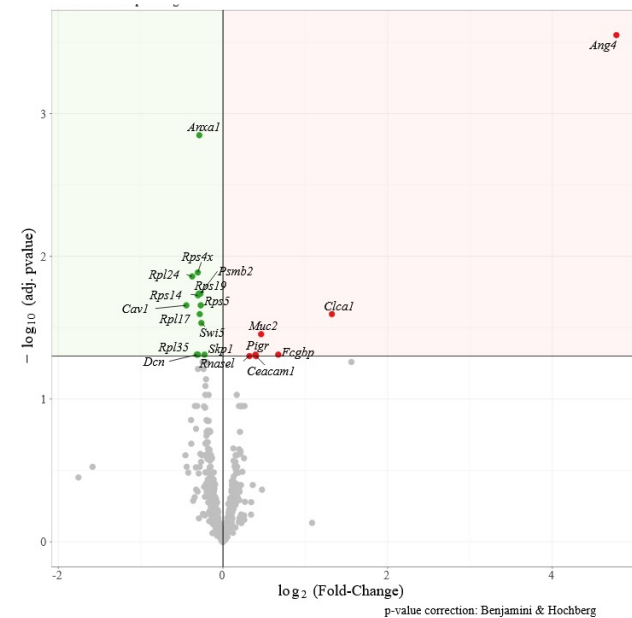


Perméabilité *ex vivo*

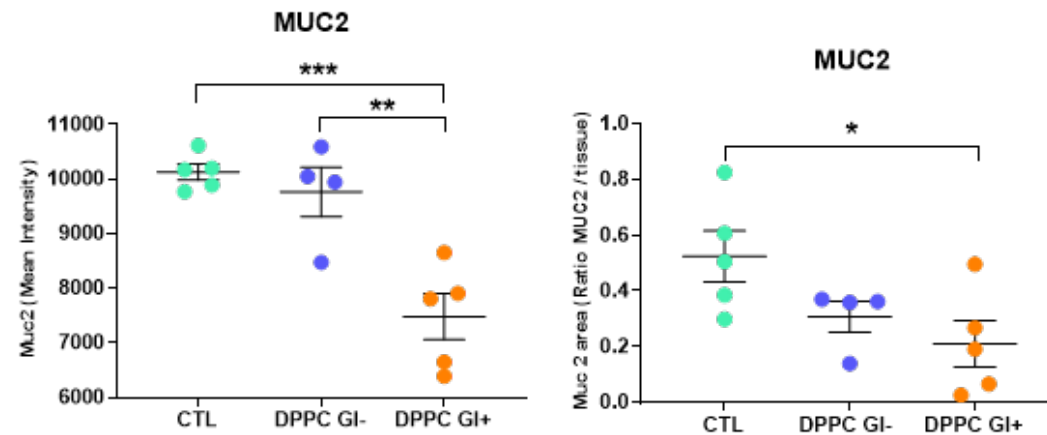
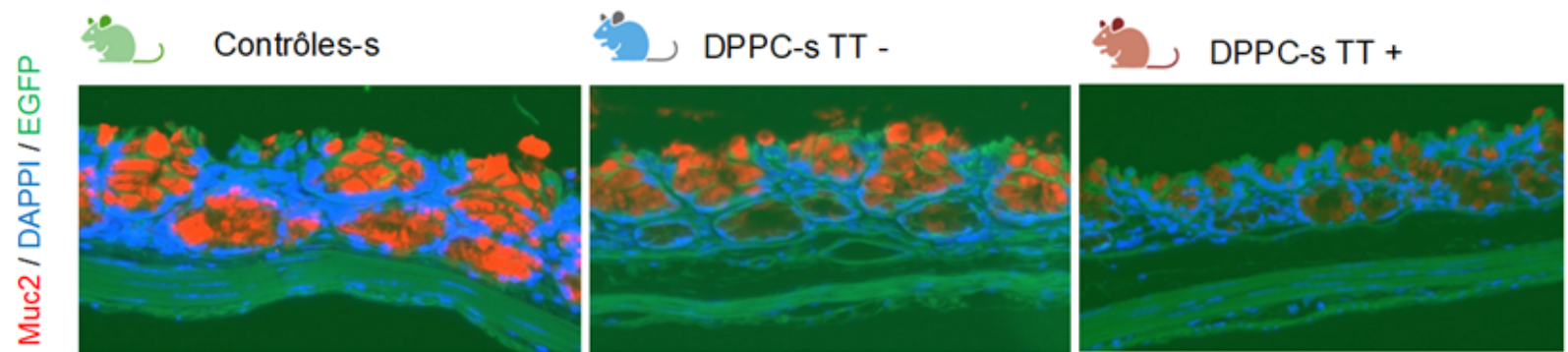
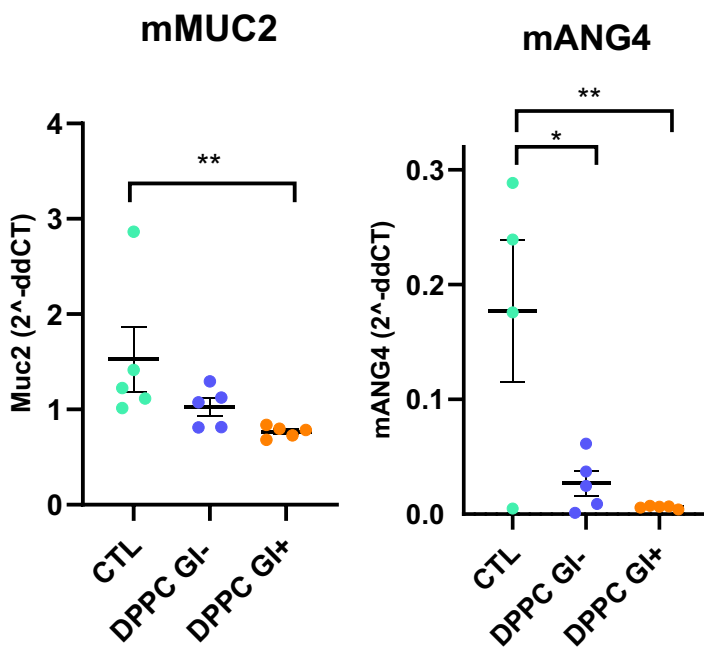
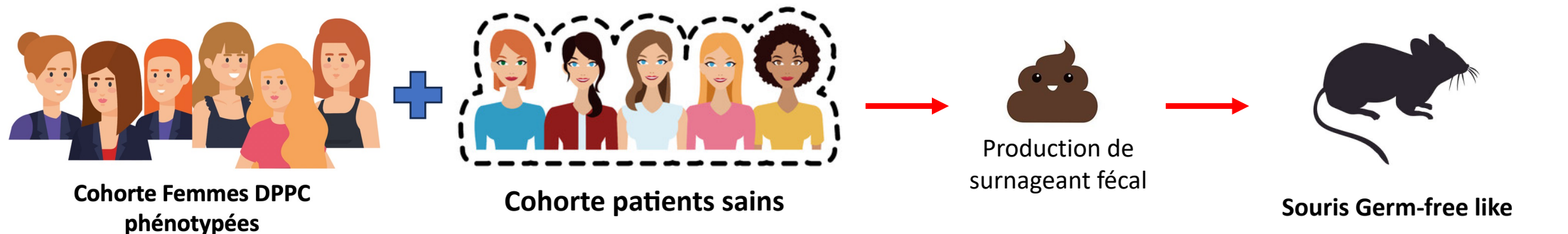


Analyse DGE-seq

Controles-s DPPC-s



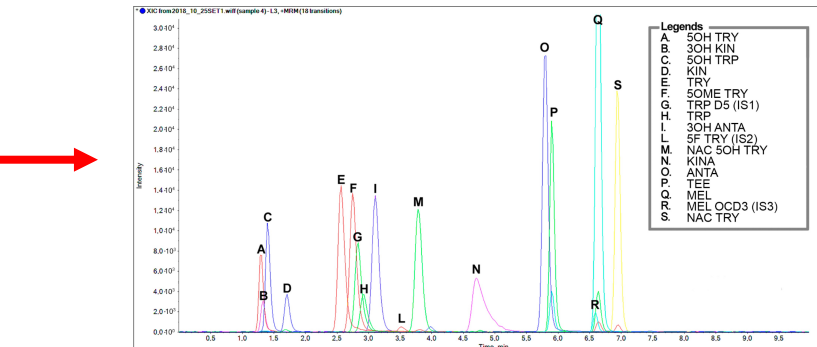
Le transfert de surnageant fécal de DPPC TT+ induit-il un remodelage de la BEI ?



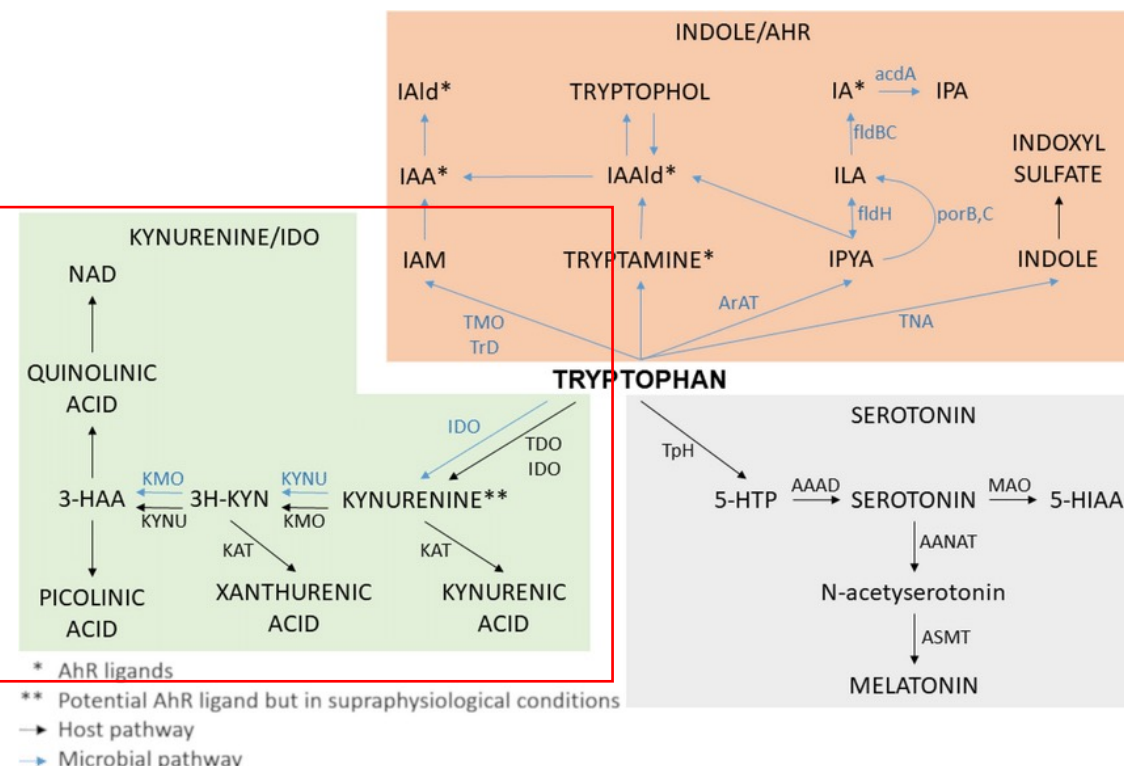
Vers l'identification de métabolites bactériens responsables des TT et de la BEI au cours des DPPC ?



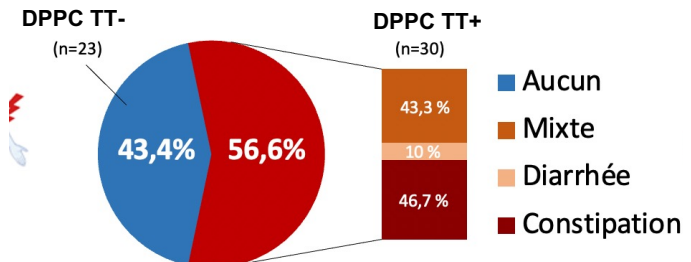
Cohorte Femmes DPPC phénotypées



Spectrométrie de masse

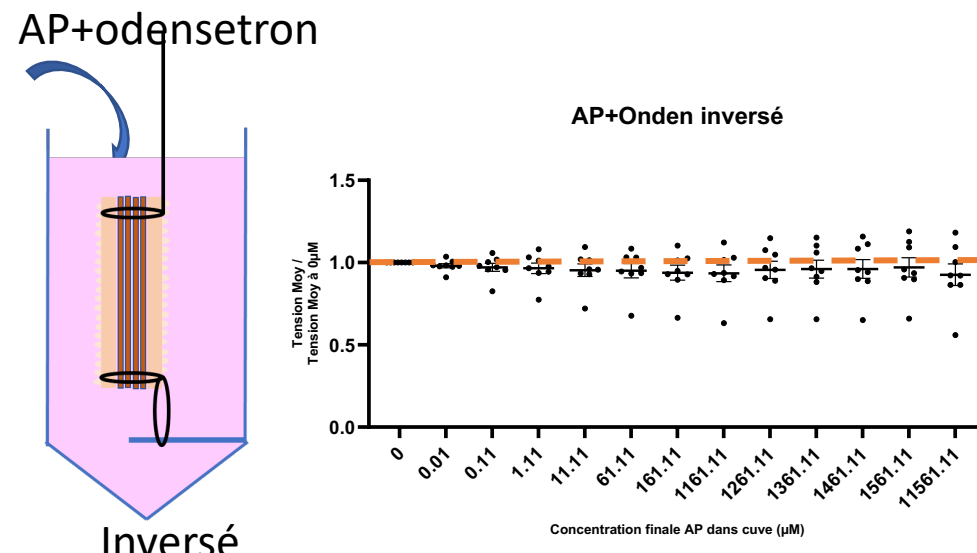
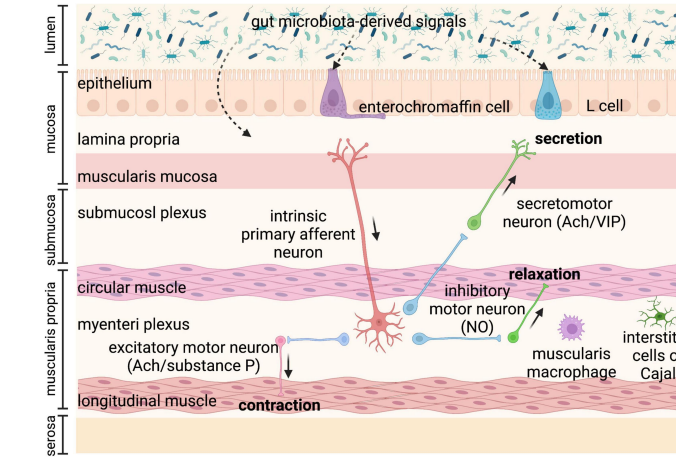
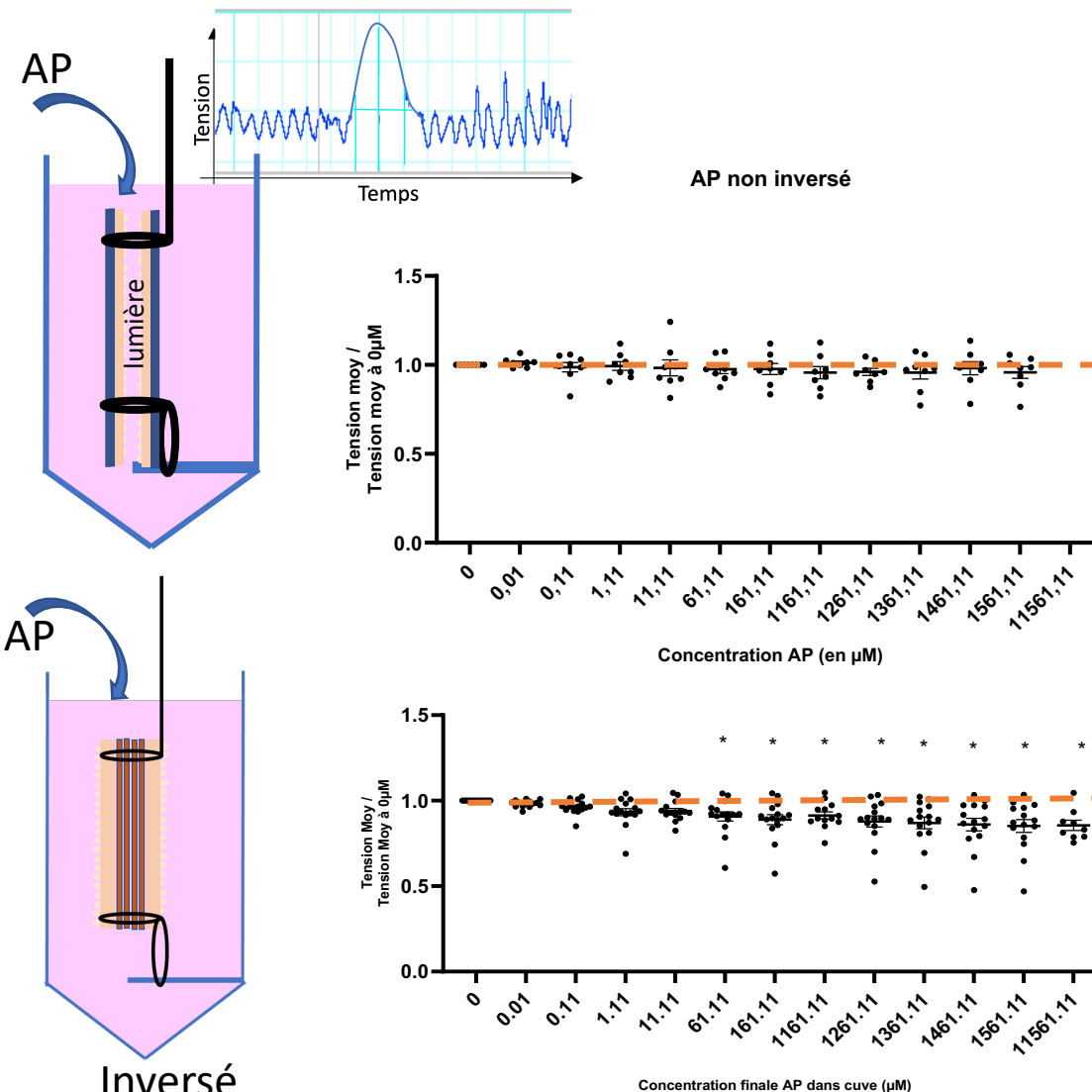


	CTL VS DPPC	CTL VS DPPC GI-	CTL VS DPPC GI+	DPPC GI- VS DPPC GI+	Diarrhée VS Constipation
Picolinic acid	*	NS	**	*	*
Quinolinic acid	NS	*	*	*	NS
Xanthurenic acid	NS	NS	NS	NS	NS
Kynurenine	NS	NS	NS	*	NS
Tryptophane	NS	NS	*	*	NS
Serotonin	NS	NS	NS	NS	NS



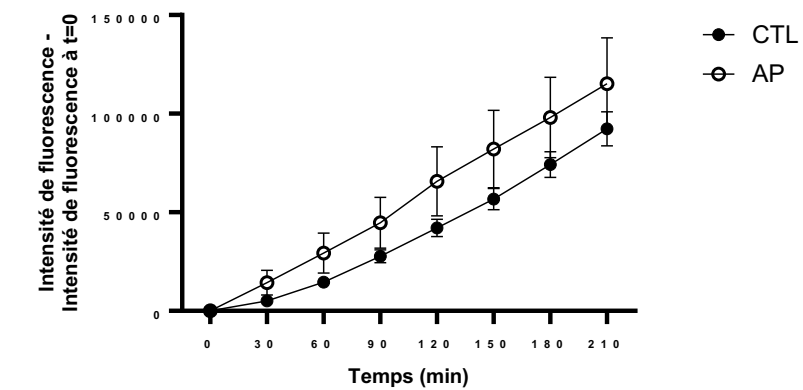
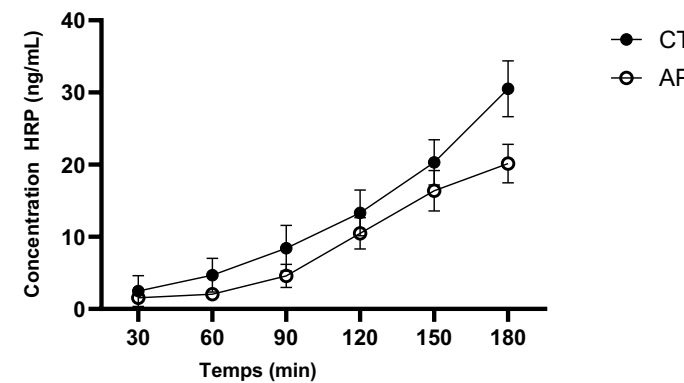
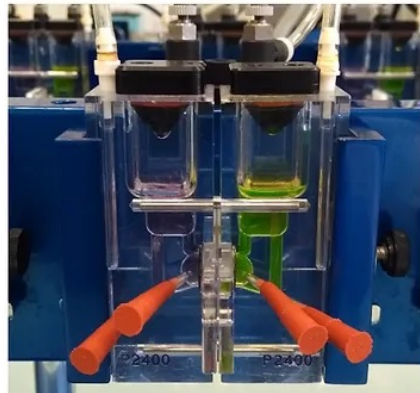
Etude des effets de l'acide picolinique sur les fonctions motrices et de la BEI

	CTL	DPPC	DPPC GI-	DPPC GI+	DPPC Constipés	DPPC Diarrhéiques
Picolinic acid	3135 ± 381.9	2322 ± 304.8	2878 ± 618.8	1906 ± 234.7	1447 ± 205.6	3740 ± 846.8

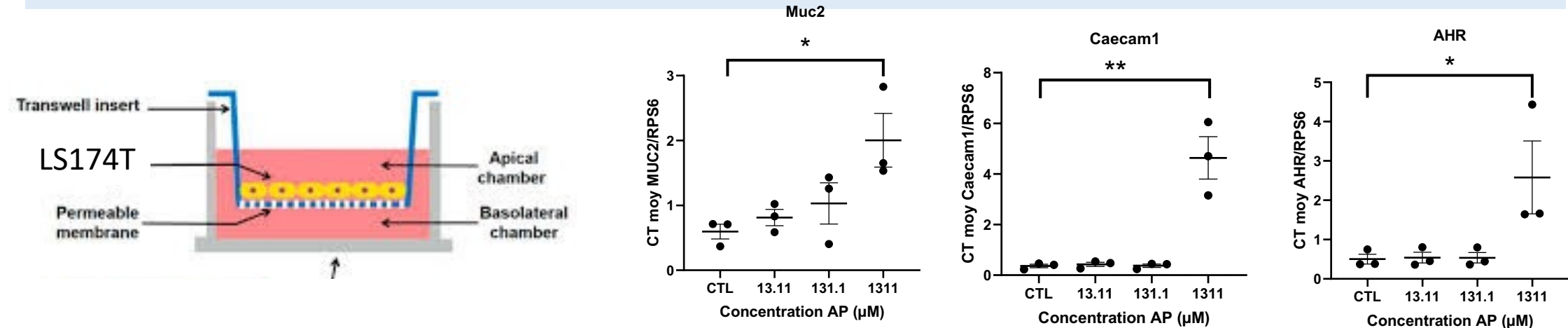


Etude des effets de l'acide picolinique sur les fonctions motrices et de la BEI

L'acide picolinique ne modifie pas la perméabilité intestinale



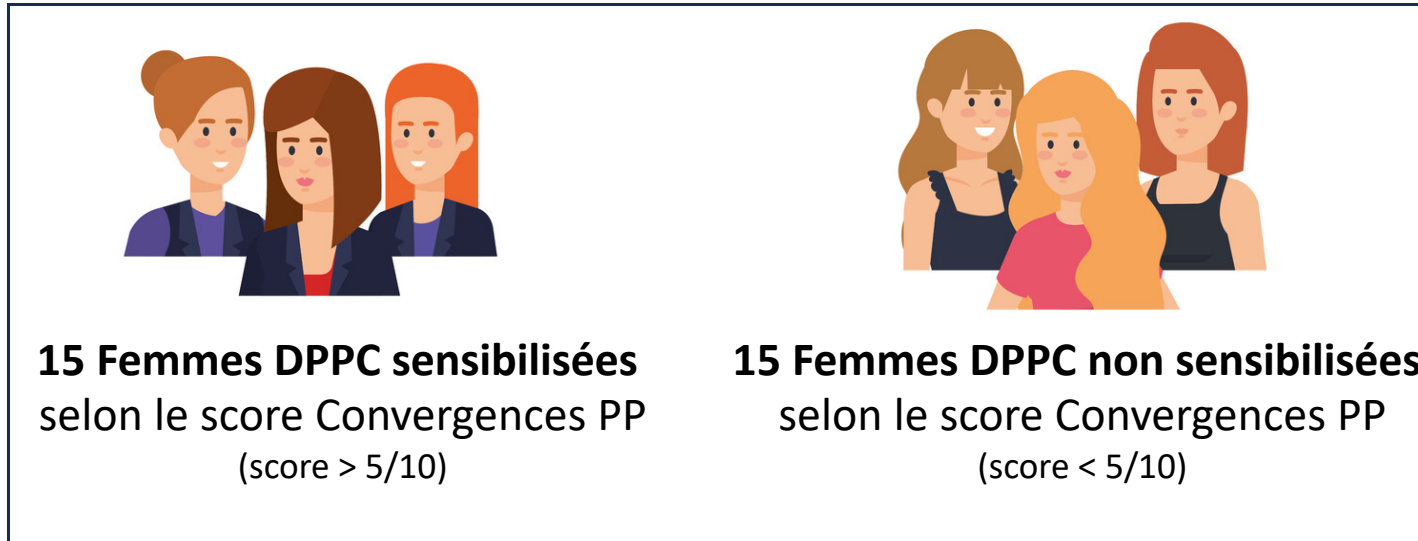
L'acide picolinique augmente l'expression de Muc2 et est associée à une augmentation de l'expression d'AhR



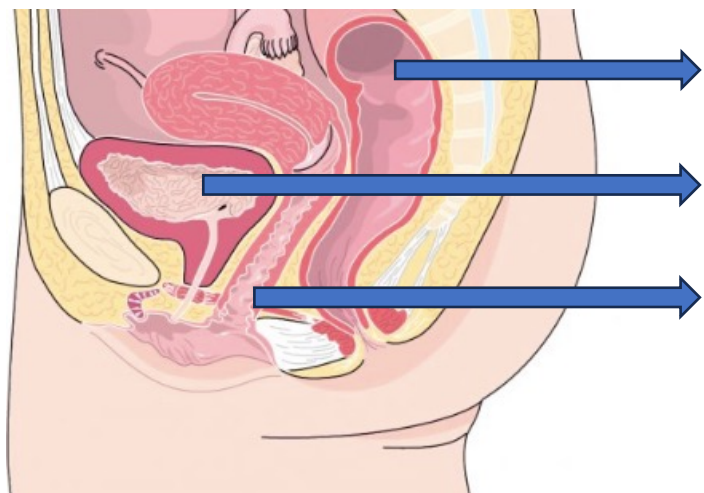
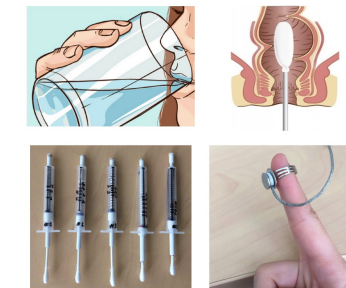
Résumé

- a) Une proportion important de patients DPPC présente des TT associées à comorbidités comportementale et sensibilisation digestive
- b) Mise en évidence de signatures transcriptomiques et métabolomiques associées à DPPC et à nature des TT (C, D, M)
- c) Identification de candidats métabolites responsables de TT (C) et de la BEI (acide picolinique)

Identification de signatures de microbiotes pelviens associées à la sensibilisation d'organe



Symptomatologie connue
Seuils de sensibilité étudiés
Profils psychologiques



Recueil de selles, urines et prélèvement vaginal
Analyse du microbiote par métaséquençage 16S

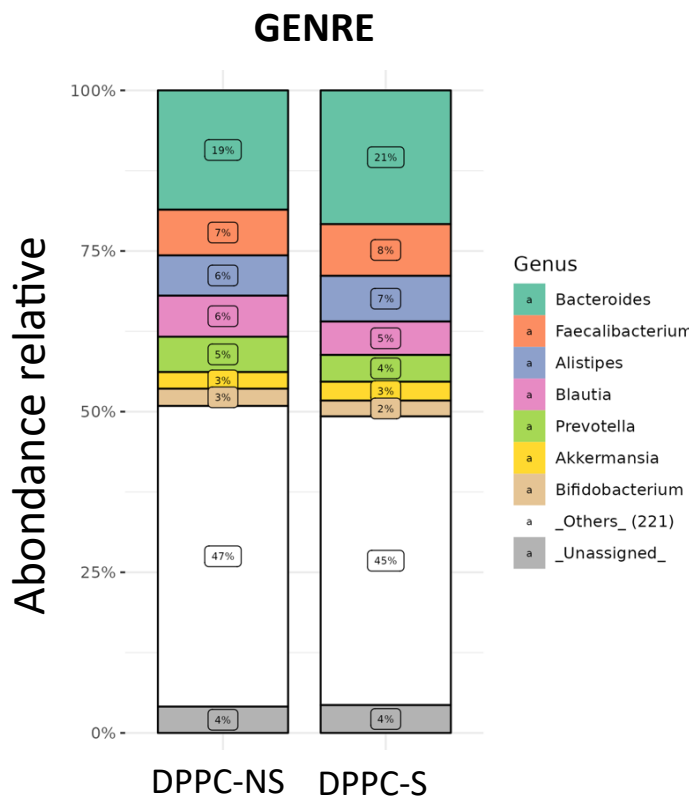
Analyse bio-informatique
Diversité bactérienne
Composition bactérienne
Modules bactériens (WGCNA)
Corrélation avec données cliniques

Microbiote INTESTINAL des femmes DPPC-S : \downarrow Lactobacillus et 10 autres ASV

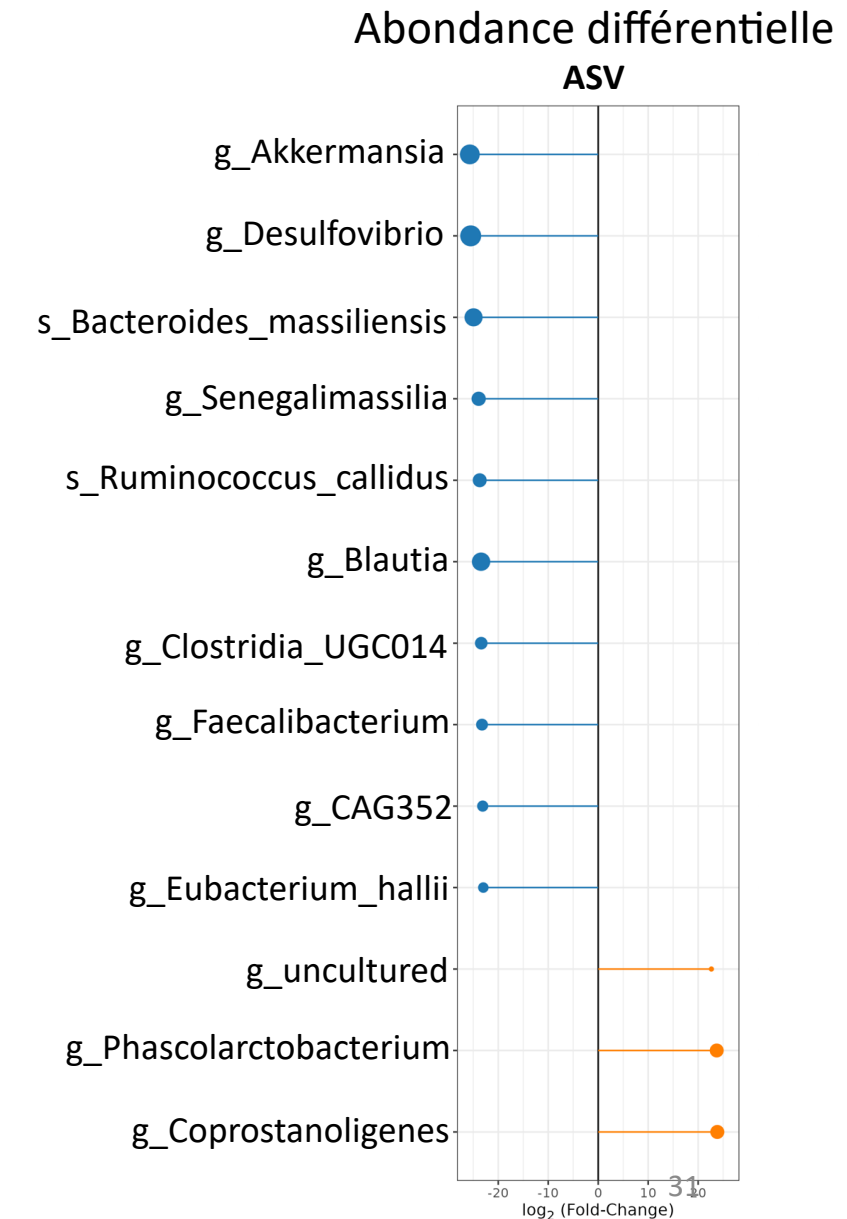
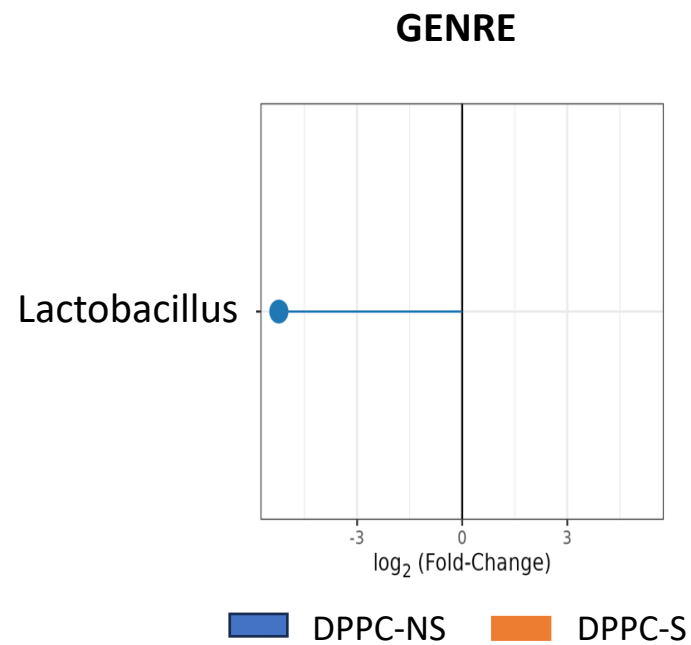


$\downarrow \alpha$ diversité (Pielou eveness)
 $= \beta$ diversité

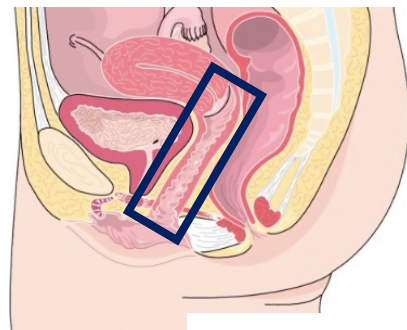
Composition moyenne



Abondance différentielle

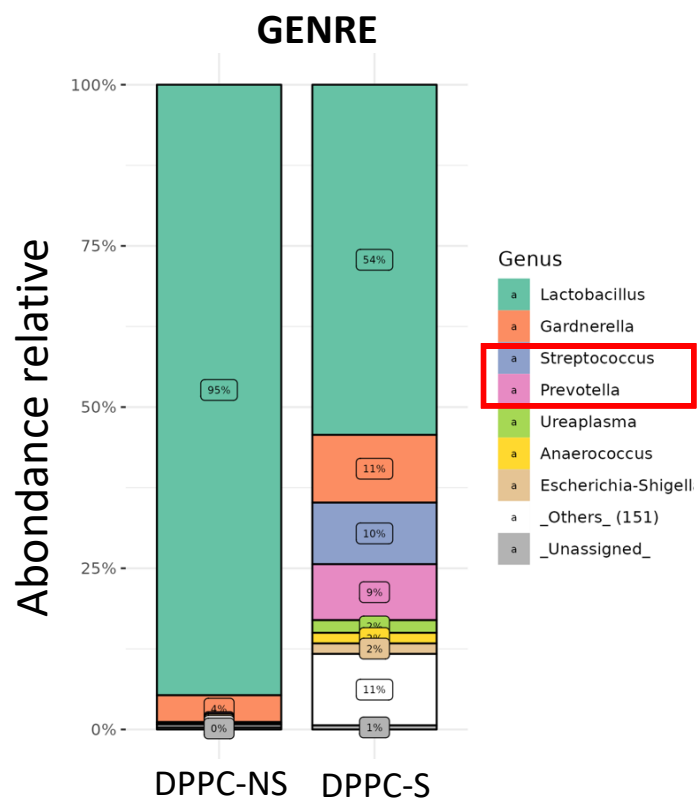


Microbiote VAGINAL des femmes DPPC-S : ↑ Prevotella et Streptococcus

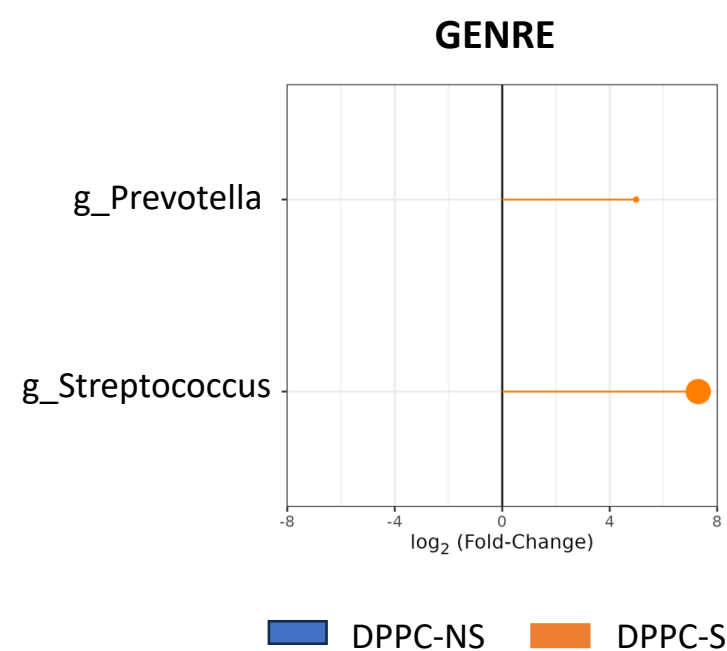


$\nearrow \alpha$ diversité (ASV)
 $\neq \beta$ diversité

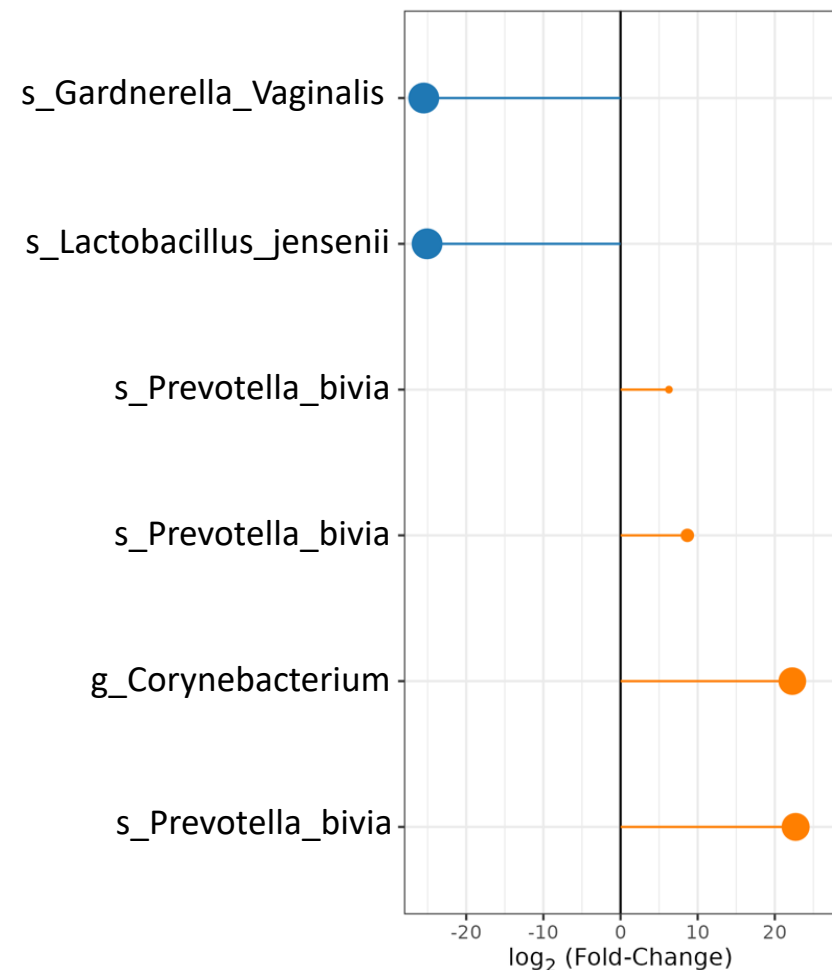
Composition moyenne



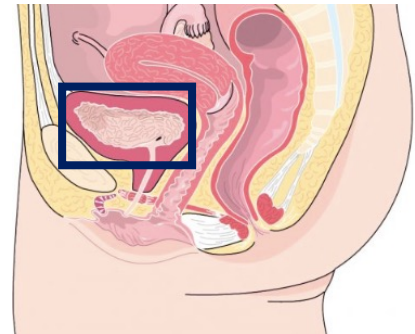
Abondance différentielle



Abondance différentielle ASV

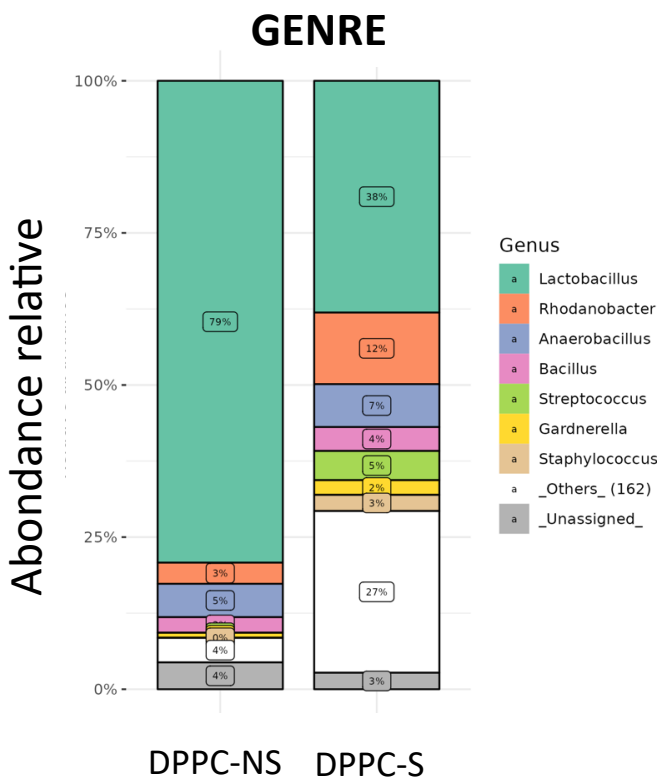


Microbiote URINAIRE des femmes DPPC-S : ↑ Clostridium, ↓ Lactobacillus

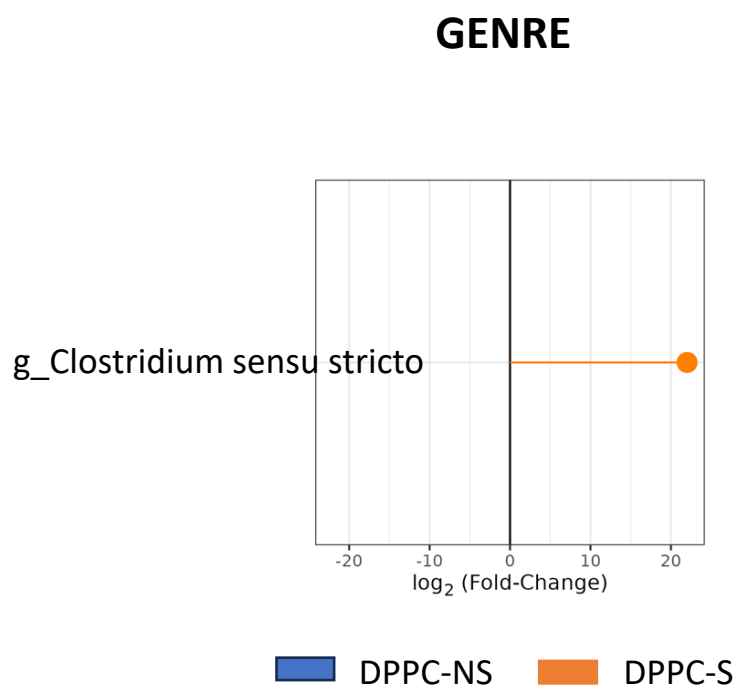


↗ α diversité (Pielou evenness, Shanon Index))
≠ β diversité

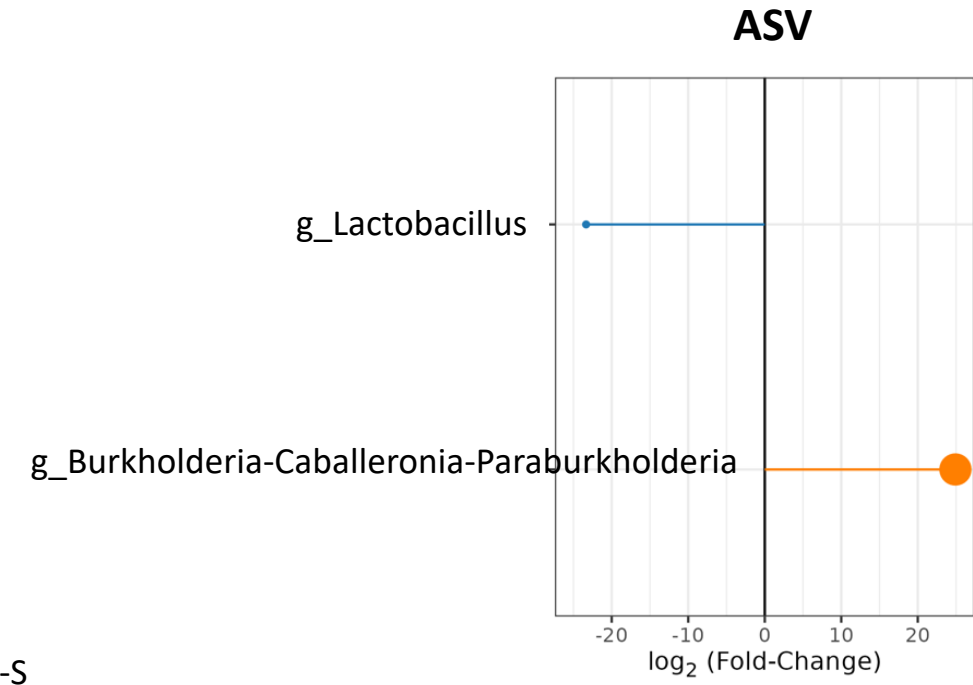
Composition moyenne



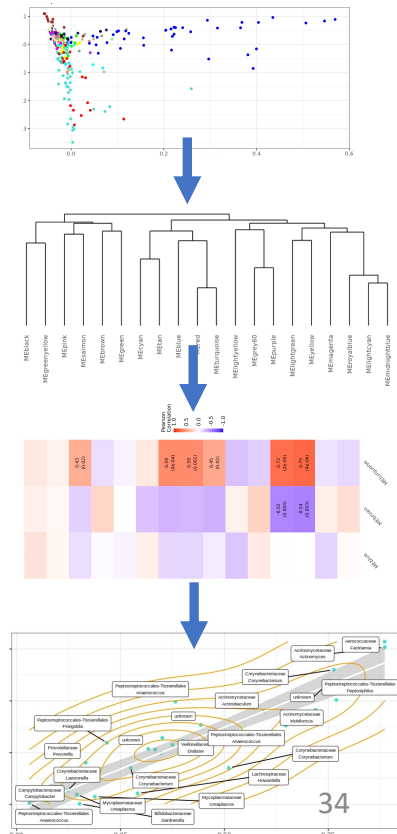
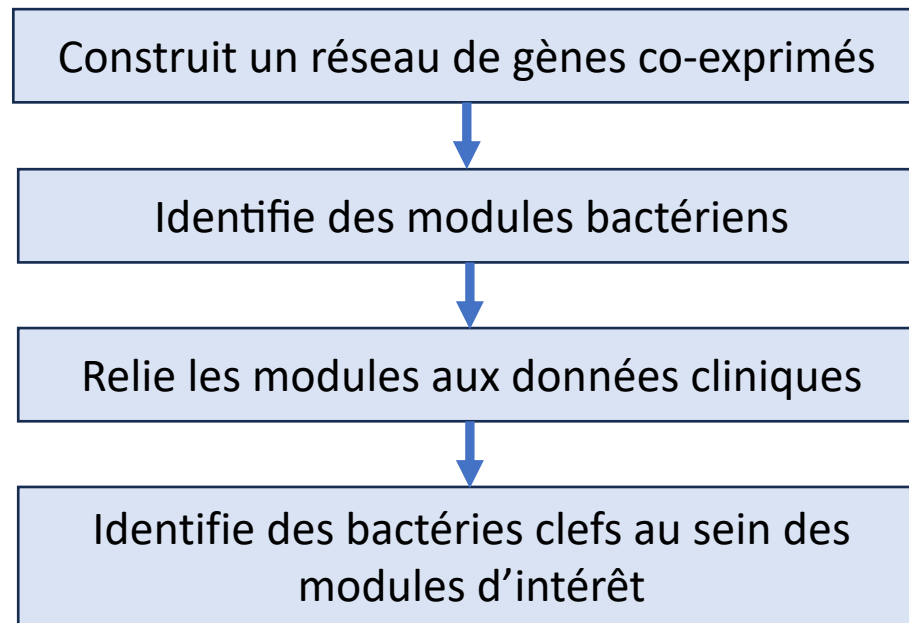
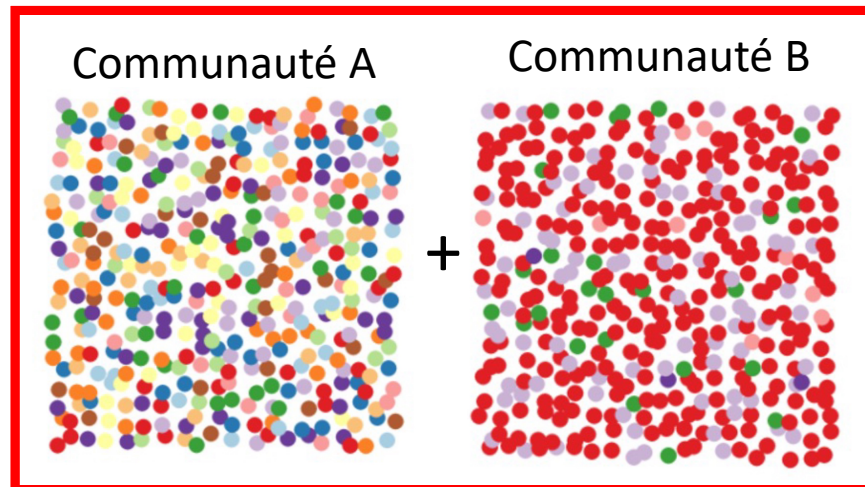
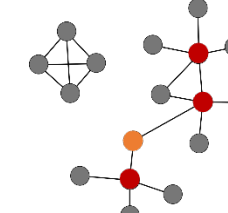
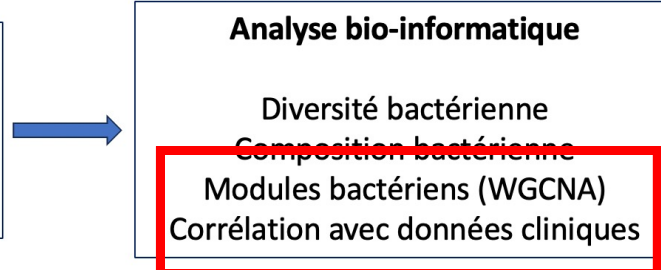
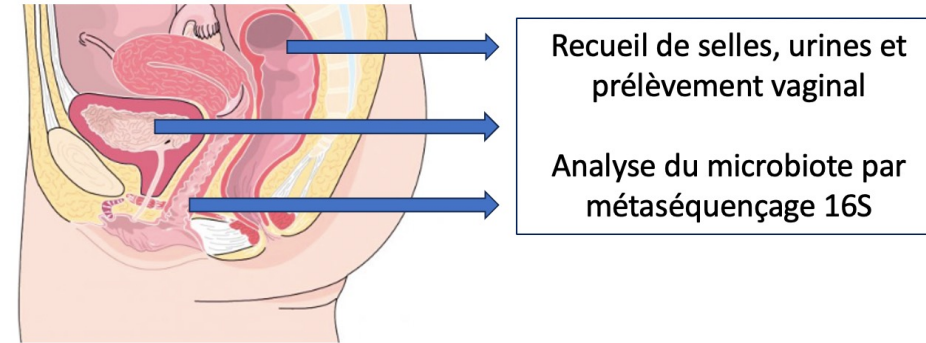
Abondance différentielle



Abondance différentielle

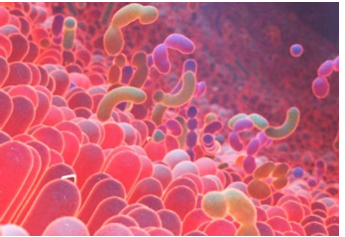


Analyse WGCNA basée sur des réseaux pour identifier des biomarqueurs bactériens associés à des paramètres cliniques

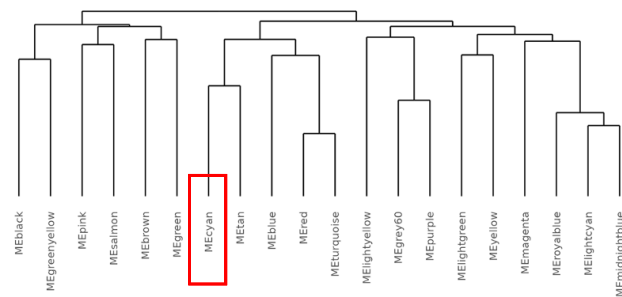


L'analyse WGCNA permet d'identifier des modules bactériens fortement corrélés entre eux dans les différents microbiotes et associés à des paramètres cliniques

MICROBIOTE INTESTINAL



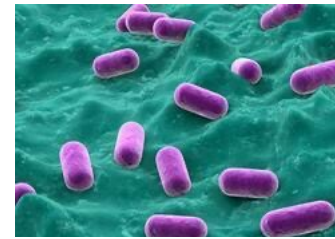
lustering of ASVs' module eigengenes



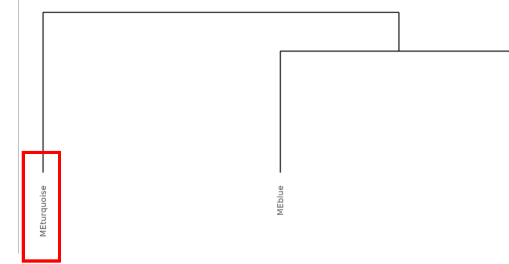
20 modules bactériens

Symptomatologie connue
Seuils de sensibilité étudiés
Profils psychologiques

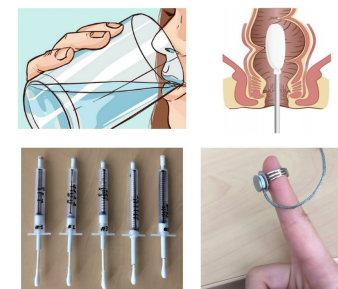
MICROBIOTE VAGINAL



Clustering of ASVs' module eigengenes



3 modules bactériens



MICROBIOTE URINAIRE



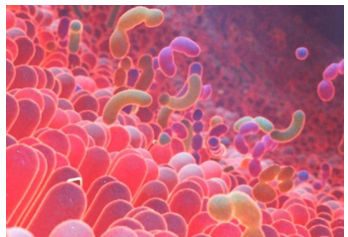
Clustering of ASVs' module eigengenes



2 modules bactériens

L'analyse WGCNA permet d'identifier des modules bactériens fortement corrélés entre eux dans les différents microbiotes et associés à des paramètres cliniques

MICROBIOTE INTESTINAL



MODULE (19 ASVs)

Christensenellaceae_R-7

↑ Score Convergences PP (p=0.02)

↑ Anxiété (p=0.04)

↓ Qualité de vie mentale (p=0.009)

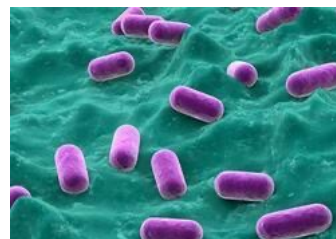
↑ Symptômes gastro-intestinaux (p=0.03)

↑ Intensité douleur barostat (p=0.005)

↑ Durée douleur post-barostat (p=0.006)

↑ Intensité douleur post-barostat (p=0.004)

MICROBIOTE VAGINAL



MODULE (23 ASVs)

Peptostreptococcales-Tissierellales

Peptoniphilus

↑ âge (p=0.02)

↑ Intensité douleur algomètre (p=0.03)

↑ Durée douleur post-algomètre (p < 0.0001)

↑ Intensité douleur post-algomètre (p < 0.0001)

MICROBIOTE URINAIRE



MODULE (7 ASVs)

Peptostreptococcales-Tissierellales

Peptoniphilus Coxii

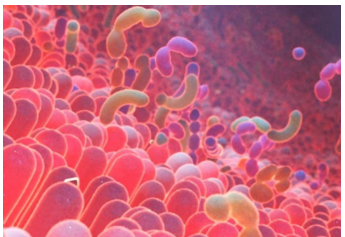
↑ âge (p=0.02)

↑ nombre de mictions par jour (p=0.05)

↑ Durée douleur post-diurèse provoquée (p=0.006)

L'analyse WGCNA permet d'identifier des modules bactériens fortement corrélés entre eux dans les différents microbiotes et associés à des paramètres cliniques

MICROBIOTE INTESTINAL

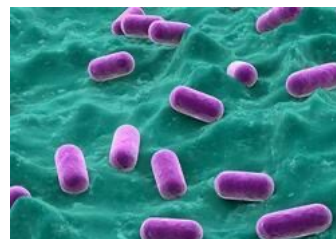


MODULE (19 ASVs) *Christensenellaceae_R-7*

↑ Score Convergences PP (p=0.02)
 ↑ Anxiété (p=0.04)
↓ Qualité de vie mentale (p=0.009)

↑ Symptômes gastro-intestinaux (p=0.03)
 ↑ Intensité douleur barostat (p=0.005)
↑ **Durée douleur post-barostat (p=0.006)**
↑ **Intensité douleur post-barostat (p=0.004)**

MICROBIOTE VAGINAL



MODULE (23 ASVs) *Peptostreptococcales-Tissierellales* *Peptoniphilus*

↑ âge (p=0.02)

↑ Intensité douleur algomètre (p=0.03)
↑ **Durée douleur post-algomètre (p < 0.0001)**
↑ **Intensité douleur post-algomètre (p < 0.0001)**

MICROBIOTE URINAIRE

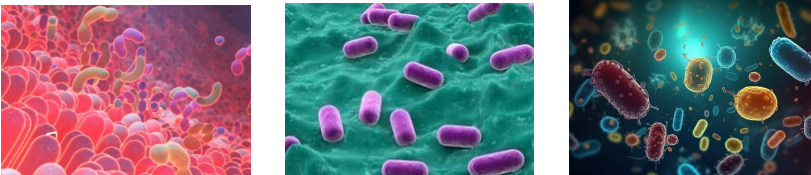


MODULE (7 ASVs) *Peptostreptococcales-Tissierellales* *Peptoniphilus Coxii*

↑ âge (p=0.02)

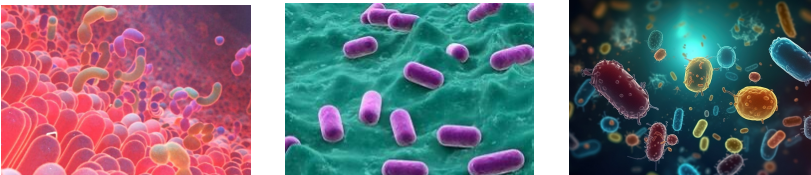
↑ nombre de mictions par jour (p=0.05)
↑ **Durée douleur post-diurèse provoquée (p=0.006)**

Les modules bactériens vaginaux et urinaires associées aux douleurs post stimulation d'organe contiennent des bactéries communes

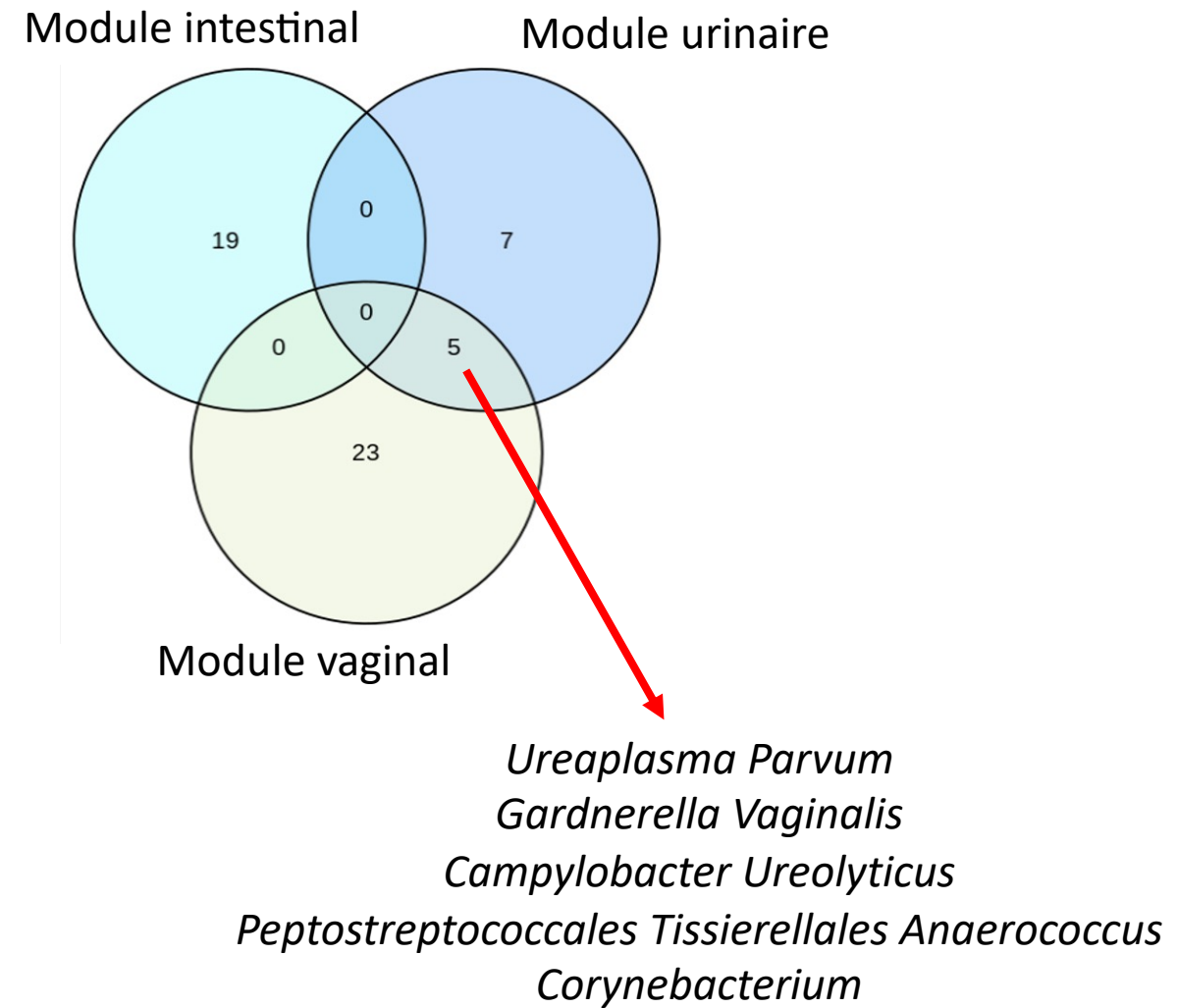


		Gut Microbiota	Vaginal Microbiota	Urinary Microbiota
Post-stimulation pain		Cyan Module	Turquoise Module	Blue Module
RECTUM	Area under VAS curve	0.53 p=0.004	0.59 p=0.001	0.65 p<0.0001
	Time (minutes)	0.5 p=0.006	0.59 p<0.0001	0.62 p=0.001
MUSCLES	Area under VAS curve	0.16 p=0.4	0.75 p<0.0001	0.9 p<0.0001
	Time (minutes)	0.17 p=0.4	0.72 p<0.0001	0.86 p<0.0001
VULVA	Area under VAS curve	0.13 p=0.5	-0.17 p=0.4	0.035 p=0.9
	Time (minutes)	0.15 p=0.4	-0.12 p=0.6	0.12 p=0.6
BLADDER	Area under VAS curve	0.093 p=0.6	-0.21 p=0.3	-0.09 p=0.7
	Time (minutes)	0.37 p=0.06	0.45 p=0.02	0.54 p=0.006

Les modules bactériens vaginaux et urinaires associées aux douleurs post stimulation d'organe contiennent des bactéries communes

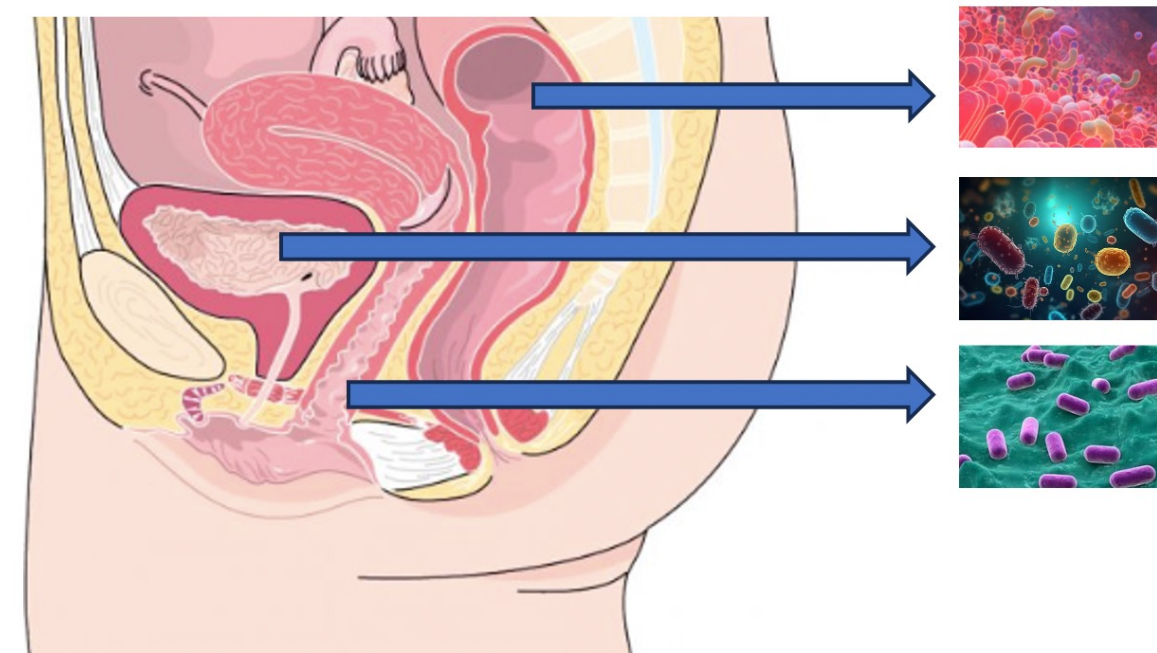


	Gut Microbiota	Vaginal Microbiota	Urinary Microbiota
Post-stimulation pain	Cyan Module	Turquoise Module	Blue Module
RECTUM	Area under VAS curve 0.53 p=0.004	0.59 p=0.001	0.65 p<0.0001
	Time (minutes) 0.5 p=0.006	0.59 p<0.0001	0.62 p=0.001
MUSCLES	Area under VAS curve 0.16 p=0.4	0.75 p<0.0001	0.9 p<0.0001
	Time (minutes) 0.17 p=0.4	0.72 p<0.0001	0.86 p<0.0001
VULVA	Area under VAS curve 0.13 p=0.5	-0.17 p=0.4	0.035 p=0.9
	Time (minutes) 0.15 p=0.4	-0.12 p=0.6	0.12 p=0.6
BLADDER	Area under VAS curve 0.093 p=0.6	-0.21 p=0.3	-0.09 p=0.7
	Time (minutes) 0.37 p=0.06	0.45 p=0.02	0.54 p=0.006



Conclusions et perspectives-

RÉUNION ANNUELLE
DU GROUPE FRANÇAIS
DE NEURO-GASTROENTÉROLOGIE
ANNECY - 2&3 MAI 2024



- Identification de signatures bactériennes et fonctionnelles liées aux comorbidités d'organe dans une population de patientes DPPC.
- Besoin de cohortes de validation (stratification en fonctions de la pathologie sous jacente et symptômes – par ex endométriose)
- Nécessité de démontrer lien causal entre signatures et dysfonctions d'organes
- Base pour développer modèles préclinique et clinique de validation des stratégies thérapeutiques

Remerciements

RÉUNION ANNUELLE
DU GROUPE FRANÇAIS
DE NEURO-GASTROENTÉROLOGIE
ANNECY - 2&3 MAI 2024



Claire CARDAILLAC
Philippe AUBERT
Justine MARCHIX
Camille TROTTIER
Charlène BROCHARD
Anaïs MORTIER (Master 2)
Ylan CAMBY (Master 2)
Candice AURRAND (Master 2)
Emma COUET (Master 2)
Chloé PAJOT (Master 2)
Mathéus MOREAU (Doctorant)

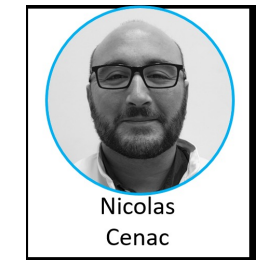


Claire CARDAILLAC
Stéphane PLOTEAU
Amélie LEVESQUE
Thibault THUBERT
Thibault RIANT
Norbert WINER
Membres DRCI
Membres CIC

FINANCEMENTS



P Emond



Nicolas
Cenac



Méthodologie

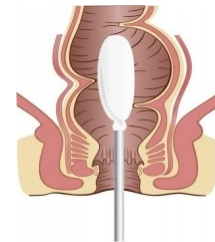
	Sphère urinaire basse	Sphère digestive basse	Sphère génito-sexuelle	Sphère cutanéomuqueuse	Sphère musculaire
Abasissement de seuils	1. Douleurs influencées par le remplissage vésical et/ou la miction	2. Douleurs influencées par la distension et/ou la vidange rectale (matières, gaz)	3. Douleurs influencées par l'activité sexuelle	4. Allodynie pelvi-périnéale (impossibilité d'utiliser des tampons, intolérance au port des sous-vêtements serrés)	5. Présence de points gâchette pelviens (piriforme, obturateurs internes, élévateurs de l'anus)
Diffusion temporelle	6. Douleurs post-mictionnelles	7. Douleurs post-défécation	8. Douleurs persistantes après l'activité sexuelle		
Variabilité des symptômes	9. Variabilité de l'intensité douloureuse (évolution par périodes, évolution en dents de scie) et/ou de la topographie douloureuse				
Syndromes associés	10. Migraine et/ou céphalées de tension et/ou fibromyalgie et/ou syndrome de fatigue chronique et/ou syndrome de stress post-traumatique et/ou syndrome des jambes sans repos et/ou SADAM et/ou intolérances multiples aux produits chimiques				

Diurèse provoquée



Hellman KM, Am J Obstet Gynecol, 2015

Barostat rectal



Piché M, Pain 2010

Vulvagésiomètre



Pukall CF, Physiol Meas, 2007

Algomètre à pression



Tu FF, Obstet Gynecol, 2007

Chez DPPC Sensibilisées

↑ durée d'évolution des douleurs et ↑ nombre pathologies douloureuses

Patients characteristics	Women with CPP and a high score of sensitization (n=29)	Women with CPP and a low score of sensitization (n=24)	P value
Pain duration (y), mean±SD	11±8	6±5	.028 ^a
Pain intensity in the last wk (0–10 NRS), mean±SD	6.1±1.8	5.5±2.1	.261
Diagnosed painful diseases, mean±SD	2.7±1.3	1.6±0.8	.002 ^a
Endometriosis ^b , No./Total (%)	14 (48.3)	5 (20.1)	.038 ^a
Bladder pain syndrome, No./Total (%)	13 (44.8)	4 (16.7)	.029 ^a
IBS ^c , No./Total (%)	15 (51.7)	4 (16.7)	.008 ^a
- Diarrhea, No./Total IBS	2 (13.3)	1 (25)	
- Constipation, No./Total IBS	3 (20)	2 (50)	
- Mixed, No./Total IBS	10 (66.7)	1 (25)	
Vulvodynia, No./Total (%)	10 (34.5)	5 (20.8)	.272
Pudendal neuralgia ^d , No./Total (%)	2 (6.9)	1 (4.2)	>.999
Coccygodynia, No./Total (%)	8 (27.6)	4 (16.7)	.344
Micturitions per d, mean±SD	9.6±4.7	7.1±4.6	.038 ^a
Bowel movements per wk, mean±SD	7±3.6	6.3±3.8	.302

Points clefs

	Sphère urinaire basse	Sphère digestive basse	Sphère génito-sexuelle	Sphère cutanéomuqueuse	Sphère musculaire		
Abaissement de seuils	1. Douleurs influencées par le remplissage vésical et/ou la miction	2. Douleurs influencées par la distension et/ou la vidange rectale (matières, gaz)	3. Douleurs influencées par l'activité sexuelle	4. Allodynie pelvi-périnéale (impossibilité d'utiliser des tampons, intolérance au port des sous-vêtements serrés)	5. Présence de points gâchette pelviens (piriforme, obturateurs internes, élévateurs de l'anus)		
Diffusion temporelle	6. Douleurs post-mictionnelles	7. Douleurs post-défécation	8. Douleurs persistantes après l'activité sexuelle				
Variabilité des symptômes	9. Variabilité de l'intensité douloureuse (évolution par périodes, évolution en dents de scie) et/ou de la topographie douloureuse						
Syndromes associés	10. Migraine et/ou céphalées de tension et/ou fibromyalgie et/ou syndrome de fatigue chronique et/ou syndrome de stress post-traumatique et/ou syndrome des jambes sans repos et/ou SADAM et/ou intolérances multiples aux produits chimiques						



Le **score Convergences PP** est capable de discriminer des femmes DPPC sensibilisées ayant objectivement:

*Un abaissement des seuils douloureux
Une diffusion spatiale de la douleur
Une diffusion temporelle de la douleur*

Chez les femmes DPPC sensibilisées on note :

→ est associée une **altération de la qualité de vie**
en lien avec les limitations **physiques**

→ n'est **pas associée aux comorbidités psychologiques**

Points clefs

	Sphère urinaire basse	Sphère digestive basse	Sphère génito-sexuelle	Sphère cutanéomuqueuse	Sphère musculaire		
Abaissement de seuils	1. Douleurs influencées par le remplissage vésical et/ou la miction	2. Douleurs influencées par la distension et/ou la vidange rectale (matières, gaz)	3. Douleurs influencées par l'activité sexuelle	4. Allodynie pelvi-périnéale (impossibilité d'utiliser des tampons, intolérance au port des sous-vêtements serrés)	5. Présence de points gâchette pelviens (piriforme, obturateurs internes, élévateurs de l'anus)		
Diffusion temporelle	6. Douleurs post-mictionnelles	7. Douleurs post-défécation	8. Douleurs persistantes après l'activité sexuelle				
Variabilité des symptômes	9. Variabilité de l'intensité douloureuse (évolution par périodes, évolution en dents de scie) et/ou de la topographie douloureuse						
Syndromes associés	10. Migraine et/ou céphalées de tension et/ou fibromyalgie et/ou syndrome de fatigue chronique et/ou syndrome de stress post-traumatique et/ou syndrome des jambes sans repos et/ou SADAM et/ou intolérances multiples aux produits chimiques						



Le score Convergences PP est capable de discriminer des femmes DPPC sensibilisées ayant objectivement:

*Un abaissement des seuils douloureux
Une diffusion spatiale de la douleur
Une diffusion temporelle de la douleur*

Chez les femmes DPPC sensibilisées on note :

Ces résultats permettent :

De valider un **outil simple** utilisable en pratique clinique

D'identifier la population DPPC sensibilisée pour étudier les **mécanismes physiopathologiques** sous-jacents

→ est associée une **altération de la qualité de vie**
en lien avec les limitations **physiques**

→ n'est **pas associée aux comorbidités psychologiques**